

NORSK INSTITUTT FOR VANNFORSKNING

O - 53/71

PRA 4.6 SYSTEMANALYSE AV AVLOPSANLEGG

Fremdriftsrapport nr. 1

Rapporten avsluttet 4.1.72

Saksbehandler: Siv.ing. Oddvar Lindholm
Medarbeider: Avd.sjef Terje Simensen

FORORD

Denne rapport beskriver de første resultat av et utviklingsarbeid som ble påbegynt i juni 1971, med sikte på en systemanalytisk behandling av avløpstekniske anlegg for vanntransporterte forurensninger. Prosjektet er finansiert med midler stillet til rådighet gjennom Stortingets ekstraordinære bevilgning i 1970 på kr. 30 mill. til forskning innen avløpsproblematikken (PRA - Prosjekt Rensing av Avløpsvann).

En del av de innledende arbeidene på prosjektet ble utført av siv.ing. Jan Inge Kveisengen, som for tiden er permitert fra NIVA i forbindelse med et utenlandsopphold.

Alt programmeringsarbeid forbundet med databehandlingen er utført i sin helhet av programmerer T. Hopen, mens ingeniør B.Hals har vært engasjert i en del praktisk ingeniørarbeid.

INNHOLDSFORTEGNELSE

	Side:
1. INNLEDNING	1
1.1 Generelt	1
1.2 Om systemanalyse	2
1.3 Hensikten med systemanalysen	3
1.4 Foreløpig fremdrift	5
1.5 Bruk av data fra andre FRA-prosjekter	6
2. FELTUNDERSENDELSER	8
2.1 Hensikt og metode	8
2.2 Befaring til aktuelle forsøksfelter	8
2.3 Utvalgte forsøksfelter	9
3. MODELLENS OPPBYGNING	10
3.1 Generelt	10
3.2 Grunnprinsipper	10
3.3 Spesifisert beskrivelse av den hydrauliske modells egenskaper	11
3.3.1 Alle typer regnvær kan leses inn	11
3.3.2 Avrenningskoeffisientens variasjon med tiden kan tas hensyn til	11
3.3.3 Tilrenningsfunksjoner kan oppgis	12
3.3.4 Magasineringseffekter i rørene tas hensyn til	12
3.3.5 Fordrøyningsbassenger og overløp kan beregnes integrert i ledningsnettanalyesen	12
3.3.6 Spillvannsberegninger	12
3.3.7 Modellen kan dimensjonere og kostnadsberegne avløpssystemet.	12
3.4 Om nedbørhydrogrammetoden	13
3.5 Input for en hydraulisk beregning av avløpssystemer	14
3.6 Utskrift fra maskinen	15
4. BEREGNINGSEKSEMPLER	16
4.1 Generelt	16
4.2 Beskrivelse av en del regneeksempler for Oppsal ledningsanlegg	16
4.3 Beskrivelse av regneeksempler med data hentet fra området Tørrkopp i Nøtterøy kommune	24

	Side:
5. FORTSATT UTVIKLINGSARBEID	33
5.1 Videre utvikling av analysemodellen	33
5.1.1 Hydraulikk	33
5.1.2 Økonomi	33
5.1.3 Forurensninger	34
5.1.4 Generelt	34
5.2 Bruk av modellen til planleggings- og prosjekteringsformål	34
5.3 Tidsmessig fremdriftsplan	35

1. INNLÉDNING

1.1 Generelt

Den teknologiske utvikling av avløpsanlegg går raskt fremover. Det er stadig sterk interesse og behov for utviklingsarbeid omkring de enkelte tekniske enhetene som inngår i slike anlegg. Her kan nevnes renseanlegg med alle sine enhetsoperasjoner og kombinasjon av disse, transportnett i form av kanaler og trykksystemer og med innebyggede reguleringsenheter. Selv om enhetenes funksjon kan beskrives mer eller mindre tilfredsstillende enkeltvis, er det utført lite arbeid i retning av å analysere det samlede systems virkemåte, så som de enkelte enhetenes relative betydning og innbyrdes avhengighetsforhold.

Hensikten med det foreliggende utviklingsarbeidet er å bidra til å dekke et slik behov gjennom å fremskaffe et praktisk verktøy som kan brukes til å optimalisere et hvert teknisk avløpsanlegg for vanntørnporterte forurensninger. Optimaliseringsoppgaven vil bestå i å påvise den beste utforming av og driftsmetoder for et avløpsanlegg, med hensyn til at forurensningsbelastning på recipientsystemer minimaliseres for en minst mulig økonomisk innsats. Avløpsanlegget har til oppgave å transportere forurensningene fra de punktene hvor de generes og frem til en naturlig vannforekomst, som blir funnet egnet som recipient, på en slik måte at omgivelsene tar minst mulig skade, men under visse økonomiske og tekniske restriksjoner. For å tilfredsstille de funksjonskrav som måtte stilles opp vil det være en forutsetning at de enkelte enhetene virker sammen på en slik måte at kravene til en hver tid oppfylles. Dette er ikke situasjonen hverken for nye eller gamle anlegg, bl.annet fordi tilfredsstillende metoder til å karakterisere anleggenes funksjon ikke foreligger.

Et forhold som i høy grad kompliserer funksjonsbeskrivelsen er de store regnvannsmengdene som befodres av disse tekniske systemene som finnes i alle våre byer og tettsteder. Regnvannet vil nødvendigvis påvirkes kvalitetsmessig av de mange menneskelige aktiviteter som finner sted i urbane områder, men kvalitetsendringen vil i høy grad kunne påvirkes gjennom hvordan det tekniske transportsystemet utformes. I de aller fleste av våre gamle avløpsanlegg føres regnvannet i felles kanalsystem med forurensset avløpsvann fra husholdning og industri. Det blir derfor

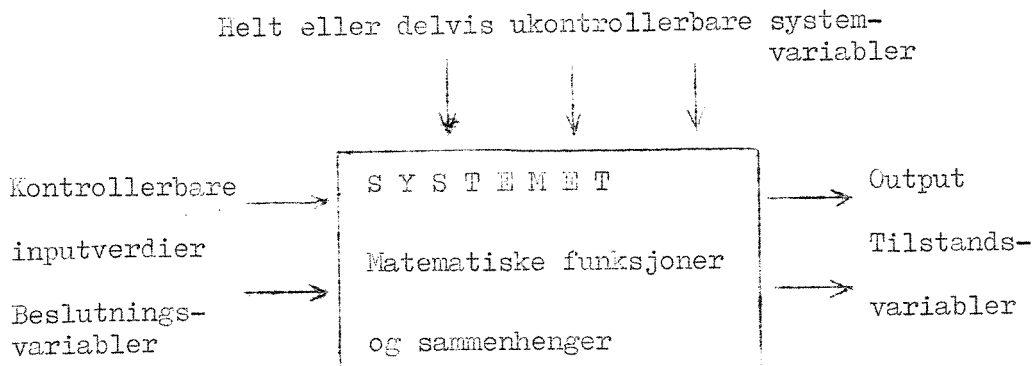
etterhvert et stadig økende behov for å vite etter hvilket mønster de samlede vannmengdene bør transporteres og renses før at forurensningen av naturlige vannforekomster skal kunne bringes under kontroll til enhver tid.

Når funksjonsmekanismene skal defineres tallmessig er det nødvendig å ta utgangspunkt i at forurensningskomponentene transporteres med hjelp av vann, og at en beskrivelse av vannets bevegelse gjennom avløpsanlegget må danne bakgrunnen for en systemanalytisk behandling av problemet. Den første del av oppgaven vil derfor bestå i å utarbeide en generell matematisk modell som best mulig beskriver hydrologiske og hydrauliske forhold i avløpssystemet. Det er denne del av oppgaven som den foreliggende fremdriftsrapport behandler.

1.2 Om systemanalyse

Et system er en samling elementer som er forenet gjennom bestemte sammenhenger. Kontrollerbare inputverdier kalles beslutningsvariable. Systemets tilstand beskrives ved tilstandsvariable, mens systemvariable kan betraktes som bivilkår og komplettering av tilstandsvariablene.

Beslutningsvariable kan være dimensjoner, utforming og plasseringer av anleggskomponenter. Systemvariable kan være forurensnings- og vannmengder tilført systemet. Tilstandsvariable kan være vannføringen i de ulike transportlinjer som funksjon av tiden, oppstuvningshøyder i kummer, forurensninger tilført visse resipientavsnitt o.l.



Foreløpig har vi svært mangelfulle data og statistikk angående de ukontrollerbare systemvariabler som påvirker et avløpssystem. Dette er forøvrig bakgrunnen for at en rekke spesielle problemstillinger er foreslått tatt opp til behandling innenfor rammen av det generelle PRA-programmet.

Systemanalyse er en strategi for problemløsning som bygger på en matematisk modellteknikk og som setter oss i stand til å bestemme tekniske, miljømessige og økonomiske optimale systemutforminger, handlingsmønstere og driftsprosedyrer. Gjennom systemanalysen modifiseres delvis og helt kontrollerbare beslutningsvariabler for å maksimere et ønsket resultat - eller minimere et uønsket resultat.

Systemanalyse av avløpssystemer medfører relativt kompliserte og tidskrevende beregninger dersom disse utføres manuelt. Det er derfor urealistisk å tenke seg dette prosjektet gjennomført uten bruk av EDB-teknikk. Analysemøllen programmeres i computerspråket FORTAN IV - som idag er det mest brukte i tekniske problemer.

1.3 Hensikten med systemanalysen

Prosjektet har som mål å utvikle en matematisk modell for en integrert og fullstendig analyse av de fleste tenkbare utforminger av avløpsanlegg som kan forekomme i våre avløpssystemer.

Man savner idag en hensiktsmessig metode til å vurdere de enkelte enhetene i et anlegg mot hverandre når det gjelder deres enkelt- og fellesbidrag til de følgende tre aspekter.

- a) Hydraulikk (vannmengder og dimensjoner)
- b) Forurensninger
- c) Økonomi

For å illustrere en mulig vekselvirkning mellom en forurensningskomponent og økonomi i et kombinertsystem med fordrøyningsbassenger og renseanlegg, er det satt opp et skjematiske kurvesett som vist i fig. 1. Kurvene viser at mengden av forurensninger som kan fjernes fra det avløpsvannet som transporteres i et kombinertsystem kan økes på to måter.

- a) Økning av rensegraden i renseanlegget
- b) Økning av magasineringskapasiteten på ledningsnettet, slik at vannmengder som ellers ville gå direkte i resipienten kan ledes tilbake til avløpsystemet når regnflommen har minket.

Kurvene i figuren kan numerisk bestemmes gjennom forenkled systemanalytiske metoder og gis grunnlag for å vurdere lønnsomheten av to operative tiltak. Avhengighetsforholdet, som er vist skjematiske, vil ikke gjelde generelt, men variere fra sted til sted, avhengig av nedbørforhold, infiltrasjonsvann osv. Modellen som skal bygges opp må imidlertid kunne gi slike sammenhenger når det aktuelle stedets særegne data benyttes som beregningsgrunnlag.

70 % av Norges avløpsledninger består idag av ledninger bygget etter fellessystemet. Det vil si at avrenningsvann og avløpsvann fra bolig- og industriområder transporteres i samme ledning. Dette medfører ujevn belastning på renseanlegg samt tap av store mengder kloakkvann i overløpene ved regn skyll. Dersom ikke noe gjøres med dette problemet vil våre vassdrag og sjøer fortsatt bli tilført betydelige forurensningsbelastninger selv om det settes inn omfattende rensetekniske tiltak. Ved å finne frem til en funksjonsbeskrivelse av systemet som helhet vil man imidlertid oppnå egnede kort siktige og langsiktige løsninger med hensyn til hvordan anleggene skal drives og koples sammen med nybyggede anlegg. Modellen vil også kunne brukes til å analysere problematikken omkring valg av gunstigste ledningssystem med de varierende betingelser som ligger i de ulike felter.

Vi kan idag regne med at 70-100 % av anleggskostnadene i våre avløps-systemer er nedlagt og 70-80 % vil bli nedlagt i transportenhetene. Når man kjenner de til dels usikre metoder som tidligere er brukt ved dimensjonering av slike anlegg, er det åpenbart at en bedre beregningsmetodikk og beregningskapasitet (EDB) kan gi betydelige innsparinger i anleggskostnadene.

Det skal i de nærmeste ti-år investeres tusenvis av millioner kroner i norske avløpsanlegg. Selv en liten prosentvis innsparing er av vesentlig betydning.

Når man forøvrig vet hvilke store forskningsinnsatser som er gjort og gjøres på renseteknikkens område, burde man ikke unnlate å gjøre en innsats på transportsiden også. Systemanalysen må blant annet sies å være et skritt på denne vei.

1.4 Foreløpig fremdrift

Den hydrauliske delen av modellen er pr. 16.12.71 nådd relativt langt. Denne vil likevel stadig bli gjenstand for justeringer og kompletteringer. Kapittel 4 "Beregningseksempler" gir forøvrig en god oversikt over den foreløbige fremdrift av modellen.

En subrutine for beregning av oppstuvninger og forgreining av vannstrømmer er under bearbeidelse. Denne subrutine vil vanligvis ikke være aktuell for mesteparten av de avløpsledningsnett som forekommer i Norge, men vil likevel være av stor betydning i visse spesielle situasjoner.

Fra hydraulikken fåes dimensjoner på avløpssystemet som er den vesentlige faktor i kostnadsberegningene. Den hydrauliske delen gir også vannmengder som multiplisert med forurensningskonsentrasjoner gir totale forurensningsmengder. Den hydrauliske delen av modellen kan derfor sies å være "ryggraden" i systemanalysen. Modellens hydrauliske del er dessuten av meget stor verdi i seg selv da den gir anledning til en inngående analyse av kompliserte avløpssystemer på svært kort tid.

Den økonomiske og forurensningsmessige delen av modellen er foreløpig lite utviklet. Anleggskostnader for delkomponenter og for systemet totalt kan beregnes. Forurensningsmessig sett er det foreløbig slik at det må antas konstante konsentrasjoner i regnvann og spillvann. Ut fra dette kan man få skrevet ut forurensningstransporten i f.eks. gram pr. sekund som funksjon av tiden i etthvert punkt. Forurensningsmengden som til etthvert tidspunkt er gått i eventuelle overløp kan også skrives ut.

Denne forenklede måten å beregne forurensningsmengder på vil bare i de **førreste** tilfeller gi riktige resultater. Det må her utvikles beregningsmetoder som tar hensyn til slike faktorer som forurensningskomponentenes art, avløpssystemets tekniske utforming og renseanleggenes virkemåte.

1.5 Bruk av data fra andre PRA-prosjekter

Dette prosjektet må nyttiggjøre seg data og resultater fra en rekke av de andre PRA-prosjektene. De andre prosjektene har en stor betydning hver for seg, men de vil ikke bli utnyttet fullt ut før det foretas en samlet vurdering og bruk. På fig. 2 er det vist hvordan resultater fra de enkelte PRA-prosjektene kan bidra i en helhetsvurdering av avløpssystemer.

Hvorvidt resultater fra de andre prosjektene kan bygges direkte inn i modellen eller benyttes som ekstern input, kan først avgjøres når resultatene foreligger. Resultatene bør generelt være så representative at de enkelt kan overføres til områder utenfor undersøkelsesfeltene.

Opplysninger og data som kan være av betydning for systemanalysen fra andre PRA-prosjekter, kan f.eks. være følgende:

PRA 1.1 "Avløpsvannets mengde og sammensetning".

Forurensningskonsentrasjoner av ulike komponenter samt avløpsvannmengder som funksjon av tid, vanntype, sted, urbaniseringsgrad, industri og evt. endringer ved f.eks. passering av overløp, fordrøyningsbassenger o.l.

PRA 2.1 og 2.2 "Forsøksanlegget på Kjeller" og "Kjemisk felling i eksisterende renseanlegg":

Renseeffekter for ulike forurensningskomponenter avhengig av hvilket kombinasjonsmønster av enhetsoperasjoner som velges, anleggs- og driftskostnader, hydraulisk belastning, vann- og lufttemperatur, influentens kvalitetsmessige variasjonsmønster og andre mulige faktorer som påvirker det rensetekniske resultatet.

PRA 3.1 "Disponering av slam".

Hensiktsmessighet og anleggs- og driftskostnader forbundet med ulike slambehandlings- og deponeringsmetoder. Betydningen av eventuelle forurensninger som føres tilbake til avløpssystemet.

PRA 4.1 "Data for korttidsnedbør":

I det minste for de større tettstedene må det ansees som et mål å få etablert slike sammenhenger som er antydet i fig. 3,4 og 5. Kurvene bør stadig korrigeres, ettersom det statiske grunnlaget utvides. I tillegg bør man få klarlagt hvilken intensitetsvariasjon de dimensjonerende regnsvyll opptrer med i løpet av selve regnsvylllet. Betydningen av dette vil fremgå senere i rapporten.

PRA 4.2 "Urbaniseringens innflytelse på avrenningen":

Avløpskoeffisienten som funksjon av tiden etter regnets start, regnets intensitet, marktype, grad av urbanisering, årstid og forutgående tørkeperiode. Se forøvrig fig. 9 som viser et tid-areal diagram.

PRA 4.4 "Selvrensing og slitasje i rør":

Ulike typer og mengder av forurensninger som avlagres i rør som funksjon av rørgradient, tid siden siste regn, rørets diameter, rørtypen, samt utskylt mengde forurensninger som funksjon av de foregående nevnte faktorer og de enkelte vannføringers styrke og lengde.

PRA 4.5 "Fordrøyningsbassenger og overløp":

Hydrauliske beregningsformler for ulike typer fordrøyningsbassenger og overløp. Eventuelle kostnader ved drift og anlegg av de nevnte anleggskomponenter, samt endringer i forurensningskonsentrasjoner ved avløpsvannets passering av disse enhetene.

2. FELTUNDERSØKELSER

2.1 Hensikt og metode

Feltundersøkelses vil i første omgang brukes til å teste den hydrauliske modellen. Siden hydraulikken er basis for kostnads- og forurensningsproblematikken, vil en god praktisk utprøvning ha stor betydning.

Utprøvningsmetodikken vil gå ut på å måle vannføringen i et par punkter i rørssystemet og i ulike felter, samt nedbørmengden som funksjon av tiden.

Disse resultater vil bli sammenlignet med de teoretisk utregnede. Modellen kan på dette grunnlag justeres eventuelt kompletteres. Det henvises til kapitel nr. 1.5 for å gi et inntrykk av hvilket omfang feltundersøkelsene forøvrig bør få. Det er mest naturlig at de respektive PRA-prosjektene som er nevnt tar seg av disse feltundersøkelsene.

2.2 Befaring til aktuelle forsøksfelter

I samarbeid med prosjektene PRA 1.1, PRA 4.1 og PRA 4.2, blev det i forbindelse med det foreligende prosjekt PRA 4.6, sendt ut et spørreskjema til alle landets kommuner. Det ble utarbeidet spørsmål for å få lokalisert de kommuner som hadde et avløpsledningsnett som kunne benyttes for den hydrauliske testing av analysemodellen.

Det kom positive svar fra 44 kommuner. Etter en vurdering av svarene, samt konferanse med de andre PRA-prosjektene, ble følgende kommuner oppsøkt og befart:

Trondheim	Nøtterøy
Bergen	Sandefjord
Fana	Skedsmo
Åsane	Avløpssambandet Nordre Øyern
Stavanger	Bærum
Sandnes	Oslo

Det vil sannsynligvis bli behov for ytterligere befaringer før målingene settes igang på vårparten.

2.3 Utvalgte forsøksfelter

Følgende felter er foreløpig utpekt som særlig egnede til en hydraulisk test.

Oppsal - Oslo kommune

Lillestrøm Nord - Skedsmo kommune

Oppsal er valgt av følgende årsaker:

- 1) Stort felt med muligheter for å få frem "forsinkelser".
- 2) Relativt nytt felt med separatsystem.
- 3) Utpreget blokkbebyggelse med meget høy utnyttelsesgrad.
- 4) Godt definerte avrenningsflater samt eksisterende fly-fotomateriale.
- 5) Gode muligheter for nøyaktige vannmålinger.

Lillestrøm Nord er valgt av følgende årsaker:

- 1) Gode muligheter for å få prøvet magasinerings- og forgreiningsmetodikken i den hydrauliske modellen.
- 2) Stort felt med muligheter for å få frem forsinkelser.
- 3) Allerede ferdig etablerte målestasjoner ifeltet med gunstig måleteknisk beliggenhet.
- 4) Kommunen er meget interessert i prosjektet og vil bidra med en arbeidsmessig innsats.

Hvorvidt disse eller flere felter skal inngå direkte under målinger utført innenfor rammen av systemanalyseprosjektet, vil avhenge av hvilket samarbeid som kan etableres med PRA 4.2 "Urbaniseringens innflytelse på avrenningen". Da dette prosjektet skal utføre nedbør- og avløpsmålinger på en rekke felter, skulle det ligge vel tilrette med en koordinering.

3. MODELLENS OPPBYGNING

3.1 Generelt

Modellen programmeres i det teknisk-matematisk-orienterte språket FORTRAN IV. Dette språket er såpass kurant at selv om det nå programmeres for en EDB-maskin av typen UNIVAC 1108, vil programmet med relativt små forandringer kunne kjøres på andre EDB-maskiner.

3.2 Grunnprinsipper

Modellen er foreløpig basert på avløpssystemer av typen "rettet tre". (Kfr. transportnettverksterminologien). Fig.13 og 24 gir eksempler på dette. Praktisk talt alle norske avløpssystemer er av denne typen. Modellen vil imidlertid få innlagt en ny subrutine som kan beregne et begrenset antall sløyfer eller forgreninger da en forgreining av vannstrømmen kan bli aktuell i enkelte punkter ved oppstuvninger i ledningsnettet. Man skal heller ikke se bort ifra at etablering av sløyfer i avløpsnett blir mer vanlig da dette vil øke den hydrauliske kapasiteten i ledningsnettene.

Hastigheten av vannstrømmen i rørene er antatt til hastigheten ved fullt rør, så lenge røret ikke har et oppstuvningstrykk. Dette er både en styrke og en svakhet. Denne forutsetningen medfører at man beregningsmessig slipper en mengde iterasjoner som er tidkrevende - og derved sterkt fordrende. Svakheten består i at hastigheten på vannstrømmen blir unøyaktig. Fig.6 illustrerer imidlertid at ved 10 % av vannføring ved fullt rør, er hastigheten 70 % av hastighet ved fullt rør. Ved 20 % vannføring er hastigheten 84 % av den antatte hastighet. Ved 87 % vannføring er hastigheten 111 % av hastighet ved fullt rør. En antakelse om 100 % hastighet vil derfor representer et middel i en stor del av vannføringsområdet.

Usikkerhetene i bestemmelse av de indre friksjonsforhold i rørene, høydeangivelsene på rørene og de tilførte vannmengder vil alltid overskygge den nevnte unøyaktighet i hastighetsantagelsen.

Dette forholdet gjelder de sirkulære standarddimensjonene som det vanligvis opereres med i Norge idag.

Ved større kulverter, kanaler og tunneler, må man ubetinget ta hensyn til de eksakte hastigheter som opptrer. Når et slikt behov melder seg, kan dette tilfredsstilles ved en modifisering av eksisterende modell.

Beregningssmetodikken for ledningssystemets magasineringsevne bygger på RRL-metoden som er utviklet ved Road Research Laboratory i England (1). Metoden forutsetter like lagringsforhold i hele avløps-systemet på samme tidspunkt. Dette vil imidlertid være en feil antagelse, særlig ved korte intensive regnskyll. I systemanalysemodellen behandles derfor hver rørstrekning separat, slik at den beregningsmessige fyllingsgrad de ulike rørstrekninger har kan være svært forskjellige på samme tidspunkt. Hastighetens virkelige variasjon med fyllingsgraden er tatt hensyn til i rørlagringsmetodikken, da dette ikke medfører tidkrevende iterasjonsberegninger.

3.3 Spesifisert beskrivelse av den hydrauliske modells egenskaper

3.3.1 Alle typer regnvær kan leses inn

Tidligere metoder har måttet anta konstante regnintensiteter. Det har imidlertid, ifølge utenlandsk forskning, vist seg at de dimensjonerende regnskyll har sterkt varierende intensiteter. Se fig. 7.

I EDB-modellen kan intensiteten oppgis som en vilkårlig funksjon av tiden. Se forsvrig kapittel nr. 3.4.

3.3.2 Avrenningskoeffisientens variasjon med tiden kan tas hensyn til

Ved starten av et regnskyll har man et fuktningstap avhengig av tørrhet i marken, marktype og helning. Deretter skal alle ujevnheter i marken fylles opp før avrenningen skjer. Dette vannet vil senere fordampe eller sive ned i grunnen. Nedsliving av regnvann i grunnen varierer sterkt med tid etter regnets start og marktype. Alle disse forhold kan tas hensyn til i EDB-modellen. Avrenningskoeffisienten kan også oppgis som en matematisk funksjon av tiden.

3.3.3 Tilrenningsfunksjoner kan oppgis

Alle rørstrekninger betjener sine respektive deler av nedbør-feltet. Tidligere metoder benytter kun tilrenningstiden fra ytterkant av delfeltet til nærmeste ledning som en beskrivelse av hvordan avrenningen fra delfeltet foregår. Dette innebærer en antagelse om linearitet mellom tilrenningstid og avrennings-areal. Fig.9 viser at vilkårlige funksjoner kan leses inn for tid-areal sammenhengen. Denne sammenhangen kan varieres for de enkelte rørstrekninger i avløpssystemet, og vil avhenge av lokalisering og fordeling av de tette og permeable flater i forhold til ledningsstrengen.

3.3.4 Magasineringseffekter i rørene tas hensyn til

Ved korte intensive regnskyll kan rørmagasineringen ha en stor innflytelse på demping av flomtoppene. Beregningsmetodikken er så tidkrevende ved en manuell behandling at dette er praktisk sett umulig å ta hensyn til uten bruk av EDB.

3.3.5 Fordrøyningsbassenger og overløp kan beregnes integrert i ledningsnettanalysen

Beregning av bassengvolumer, bassengers og overløps innvirkning på vannmengder og dimensjoner nedstrøms, totale avrennings- og overløpsvolumer m.m., kan beregnes i modellen.

3.3.6 Spillvannsberegninger

Kommunalt avløpsvann, industrivann, infiltrasjonsvann o.l. kan trekkes inn i beregningene ved å oppgi f.eks. antall personekvivalenter som sokner til respektive ledningsstrekninger. Midlere avløp pr. personekvivalent samt variasjoner over døgnet og året må spesifiseres. Eventuelle spesifikke opplysninger om infiltrasjonsvann, industriavløp o.l. kan også oppgis.

3.3.7 Modellen kan dimensjonere og kostnadsberegne avløpssystemet

Når ulike typer avløpsvannmengder er gitt, kan modellen beregne nødvendige dimensjoner på ledninger og fordrøyningsbassenger.

- Det fordres da at traceer for ledningene samt maksimalt basseng-avløp fra fordrøyningsbassenger er fastsatt. Basert på enhetskostnader kan anleggskostnader beregnes totalt og for delkomponenter.
- Modellen kan også beregne eksisterende avløpssystemer med fast-låste dimensjoner.

3.4 Om nedbørhydrogram-metoden

Et nedbørhydrogram kan beregnes med basis i en intensitets-varighetskurve. Se f.eks. fig. 7 og 8.

Det er for dette prosjektet laget et EDB-program som beregner nedbørhydrogrammer med basis i en matematisk formulering for intensitets-varighetskurven. Det kan også leses inn enkeltpunkter på intensitets-kurven uten å lage en matematisk formulering for denne.

Tidligere manuelle dimensjoneringsmetoder for ledningsnett har vært avhengig av å benytte forskjellige separate konstante regnintensiteter for å finne maksimal vannmengde. Ved å lese inn et nedbørhydrogram som regnskyll over et felt, vil man imidlertid finne de ugunsiktigste vannmengder for alle rør i ledningsnettet i samme regneoperasjon.

Fig.10 viser skjematisk et nedbørfelt med innlagt ledningssystem. De stipede kurvene representerer angivelse av den transporttid en vanndråpe har nedover i systemet. Mellom 0 og 5 min. kurven vil et regnskyll med varighet på mellom 0 - 5 min. være dimensjonerende, og tilsvarende nedover i systemet. Nederst ifeltet vil sannsynligvis et 20 min. regnskyll være dimensjonerende. Dette illustrerer hvilken stor regneoppgave en manuell dimensjonering av et avløpssystem kan representere.

Grunnen til at et nedbørhydrogram gir en samtidig dimensjonerende vannmengde i alle feltets ledninger, er at alle de enkeltregn som intensitets-kurven kan sies å være bygget opp av, er inkludert i nedbørhydrogrammet. Den samlede vannmengde som kan beregnes fra et nedbørhydrogram er likevel den samme som en middelintensitet fra en intensitetsvarighets-kurve ville gi i samme tidsrom. Forskning utført i andre land tyder også på at et dimensjonerende regnskyll her

omtrent den form som et nedbørhydrogram vanligvis har, dvs. som en symmetrisk topp (2) og (3).

3.5 Input for en hydraulisk beregning av avløpssystemer

Ledningsnettet må inndeles i et hensiktsmessig antall knutepunkter. Et for stort antall punkter vil ikke bedre beregningsnøyaktigheten vesentlig, men derimot raskt øke beregningskostnadene. En ledningsstrekning har da et knutepunkt i hver ende. Ledningsstrengene må også få separate numre.

Nødvendig input kan f.eks. være:

- a) Knutepunkt-nummer i hver ende av ledningsstrekningen.
- b) Ledningsnummer.
- c) Nivå i hver ende av ledningene.
- d) Ledningenes lengde
- e) Motstandstall eller ruhet i ledningene.
- f) Ledningenes dimensjon (ved eksisterende system).
- g) Regnintensiteter og varigheter.
- h) Nedslagsfelt til hver ledning.
- i) Avrenningskoeffisient for alle nedslagsfelter som funksjon av tiden.
- j) Tilrenningstid samt dennes funksjon i forhold til areal.
Se fig. 9.
- k) Antall personekvivalenter pr. ledningsstrekning.
- l) Avløpsmengde pr. personekvivalent og tidsenhet.

I tillegg kommer en del andre data som kan ha betydning for beregningene f.eks.:

- Marknivå i alle knutepunkter ved oppstuvningsberegninger.
- Enhetskostnader for ulike anleggskomponenter.
- Maksimale bassengavløp eller bassengvolumer.
- Plassering av bassenger, overløp og pumpestasjoner.
- Pumpestasjoners kapasitet og pumpeintervaller.
- Hvilke ledningsstrekninger som evt. skal dimensjoneres.
- Andre relevante data.

3.6 Utskrift fra maskinen

Utskriften kan settes opp i følge ønsker tilpasset ulike behov.

Foreløpig har man disse muligheter for utskrifter.

- a) Alle innleste data oppsatt i systematiske tabeller.
- b) Tilskuddsvannmengde fra hvert delfelt som funksjon av tiden.
- c) Vannføring i ethvert rør før lagringsmetodikken for rør utføres, og i ethvert tidspunkt.
- d) Vannføringen i ethvert rør etter at lagringsmetodikken er utført, og for ethvert tidspunkt.
- e) Den vannmengde som befinner seg i ethvert rør til ethvert tidspunkt.
- f) Total nedbørsmengde tilført ledningssystemet.
- g) Total vannmengde som er passert ethvert punkt i systemet.
- h) Lagret vannmengde til ethvert tidspunkt i eventuelle fordrøyningsbassenger.
- i) Vannmengder som til ethvert tidspunkt er avlastet gjennom eventuelle overløp.

I tillegg kan maskinen skrive ut maksimal vannføring i alle rør, gradient, maksimal fyllingsgrad og hastighet, rørkapasitet, Q_{maks}/Q_{full} , anleggskostnad og eventuelt beregnet diameter for alle strekninger.

Hvis det er ønskelig kan maskinen selv tegne diagrammer for vannføringen i alle rør, som funksjon av tiden. Se bilag 5,6 og 7.

Ved forurensningsberegninger kan forurensningstransporten i f.eks. gram pr. sekund skrives ut som funksjon av tiden i de punkter som er av interesse. Forurensningsmengder som til etthvert tidspunkt er avlastet gjennom eventuelle overløp eller bassenger kan også skrives ut. Se bilag 8.

Som det går frem av det foregående, er det rike muligheter for variasjon av utskriftene. Det er imidlertid viktig av kostnadsmessige hensyn å begrense utskriften til kun det som er nødvendig, da maskinen bruker relativt lang tid på redigering og trykking av tabeller.

Bilag nr. 1,2,3 og 4 viser eksempler på noen foreløbige utskrifter. Bilag nr.9 viser meget skjematiske hvordan den hydrauliske modellen fungerer ved dimensjoner av et ledningsnett.

4. BEREKNINGER OG PLER

4.1 Generelt

For å illustrere noe av hva den hydrauliske modellen kan brukes til, er en del av Oppsals overvannssystem beregnet. Feltet har ca. 10 000 beboere og ble bygget i 1950-60. Feltet består av blokker, forretninger og skoler, og er utbygd etter separatsystemet. Se fig.13.

Som en foreløpig og enkel demonstrasjon på hvordan forurensninger kan trekkes inn i beregningene, er et felt på Nøtterøy behandlet. Feltet, Tørrkopp, består av småhusbebyggelse og er kloakkert etter fellessystemet. Se fig.24.

4.2 Beskrivelse av en del regneeksempler
for Oppsals ledningsanlegg.

Oppsal har et ferdig utbygd ledningsanlegg med separatsystem. Anleggets eksisterende overvannsledninger er etter dagens prisnivå kostnadsberegnet til 3,78 millioner kroner. Fig.11 er benyttet ved kostnadsberegningene. Kostnadsberegningene har forøvrig størst verdi ved sammenlikninger mellom de ulike alternativer.

Eksempel 1

Kjøring nr. 2 vist i tabell 1 er grunnlaget for fig.14. Her er vannføring i 6 av nettets 45 ledningsstrekninger plottet som funksjon av tiden fra regnværets start. Vannføringen i rør nr. 39, som er det nederste i feltet, når et maksimum etter ca. 24 minutter etter regnskyllets start. Maksimum for rør nr. 36, som ligger øverst i feltet, kommer etter ca. 16 minutter. Nedbørhydrogrammet vist på fig.7 er da benyttet med 20 min. varighet. Dette hydrogrammet baserer seg på den intensitetskurve som var dimensjonerende da Oppsals ledningsnett ble bygget, se fig.3. Dette regnskyllet har et maksimum etter 10 minutter. Grunnen til at øverste ledning i feltet likevel ikke når maksimum før etter 16 minutter, er at tilrenningstiden fra ytterste punkt på overflaten til ledningen er satt til 6 minutter.

Tabel 1

Beregningsituasjoner for Oppsal

Kjøring nr.	Type tilte i beregninga.	Tilrennings- tid i min.	Fordøyning. basseng i pkt. 21	Evt. max. avløp fra basseng 1/s.	Simuleret regnskylle 1/sek. he tid i min.	Beregnet volum for basseng 1 m ³	Anleggskosten for Leie. i mil. kr.	Beregnet volum for basseng 1 m ³	Anleggskosten basseng i mil. kr.	Totalle anleggskosten mil. kr.
1	Totalle	6	Nei	-	N1 = 20	4,159	4,159	-	-	4,159
2	"	6	Ja	"	N1 = 20	3,893	3,893	-	-	3,893
3	"	6	Ja	"	179 - 5	3,369	3,369	-	-	3,369
4	"	6	Nei	"	179 - 5	3,852	3,852	-	-	3,852
5	"	6	Ja	"	901 - 20	3,358	3,358	-	-	3,358
6	"	6	Ja	"	N1 = 20	3,008	3,008	-	-	3,008
7	"	2	Ja	"	N1 = 20	3,074	3,074	-	-	3,074
8	Totalle	6	Ja	"	140 - 20	3,988	3,988	-	-	3,988
9	"	6	Ja	1000	140 - 20	3,773	3,773	936	0,369	4,162
10	"	6	Ja	"	N2 = 15	4,587	4,587	-	-	4,587
11	"	6	Ja	1100	N2 = 15	4,281	4,281	1041	0,412	4,693
12	"	6	Ja	1000	N2 = 15	4,281	4,281	1135	0,426	4,707
13	"	6	Ja	500	N2 = 15	4,131	4,131	1659	0,595	4,726

3,778

3,778

Eksisterende ledningsett =

3,778

X N1 = Nedbørhydrograf basert på intensitetsfunksjonen

$$I = \frac{N00}{\sqrt{t}}$$

$$N2 = \text{Nedbørhydrograf basert på intensitetsfunksjonen } I = \frac{550}{t} + \frac{550}{\sqrt{t}}$$

Eksempel 2

Mange av de beregningsmetodene som er benyttet eller benyttes tar ikke hensyn til den magasineringskapasiteten som rørsystemet har i kraft av sitt volum. Fig.15 viser betydningen av å ta hensyn til den reelle fysiske situasjonen med lagring i rørsystemet. Det er kjøring nr. 1 og 2 som er plottet (se tabell nr. 1) m.h.t. vannføring ut av rør nr. 39. Det simulerte regnvær er et 20 min. nedbørhydrogram. Se fig. 7.

Maksimal vannføring blir 40 % høyere ved å neglisjere magasineringseffekten. Maks. vannføring opptrer ca. 5 minutter tidligere hvis det ikke tas hensyn til magasineringen. Det går også frem av figuren at avløpet varer ca. 20 min. lenger når magasineringen inngår i beregningen.

Anleggskostnad med rørlagring (kjøring 2) = 3,893 mill.kr.
" uten " (kjøring 1) = 4,159 mill.kr.

Ved de dimensjoneringsbetingelsene som er gitt i tabell 1 for kjøring 1 og 2, vil en neglisjering av lagringen i rør koste ca. 266.000 kroner i anleggsutgifter i form av økede rørdimensjoner.

Eksempel 3

Magasineringseffekten i rørene blir ennå tydeligere fremhevet ved det korte intensive regnskyll som er brukt i dette eksemplet. Det er simulert et regnskyll med konstant intensitet 179 l/sek.ha i 5 minutter. Den maksimale vannføringen ut av rør nr. 39 dobles ved neglisjering av magasineringseffekten i rørene, mens tidspunktet for maksimalvannføring forskyves ca. 5 minutter. Se fig.16. Kjøring nr. 3 og 4.

Dersom man hadde et overløp på rør nr. 39 som trer i funksjon ved $Q = 1800 \text{ l/s}$, ville man ved en beregning uten magasineringseffekt i rørene, finne en vannmengde på ca. 760 m^3 som går direkte i overløp, mens det i virkeligheten ikke ville gå noe i overløp. Dette gjelder ved et 5 minutters regnskyll.

Anleggskostnader med rørlagring (kjøring 3) = 3,369 mill.kr.

" uten " (kjøring 4) = 3,852 mill.kr.

Differansen i anleggskostnader er 483.000 kroner for beregningsmetodikk med og uten lagringseffekt i rørene.

Eksempel 4

Fig.17 viser en sammenligning mellom et simulert regn ifølge nedbørhydrogram-metoden og tilsvarende konstant middelintensitet i samme tidsrom. Se kjøring nr. 2 og 5 i tabell nr. 1.

Nedbørhydrogrammet er vist i fig.7 for et 20 min. regn skyll. Dette nedbørhydrogrammet tilsvarer en middelintensitet på 89,5 l/s i 20 minutter. Forskning utført i U.S.A. (2) viser at de dimensjonerende regnvær ofte beskrives ved et nedbørhydrogram og ikke ved en jevn middelintensitet. Fig.17 viser at et nedbørhydrogram gir en maksimal vannføring som er 16-17 % større enn for en jevn middelintensitet. Dette gjelder vel å merke for vannføringen ut av rør nr. 39 som er nederst i feltet.

Anleggskostnader med nedbørhydrogram = 3,893 mill.kr.
" med konstant middelintensitet = 3,358 mill.kr.

Differanse = 535.000 kroner

Grunnen til at differansen i anleggskostnader er relativt større enn fig.17 skulle tilsi, er at differansen i maksimal-vannføringene for de to ulike situasjonene er vesentlig større lengre opp i feltet enn for det viste rør nr. 39. Dette skyldes den utjevnende og selvregulerende effekten i rørsystemet som naturligvis gjør seg sterkest gjeldende nederst i feltet.

Eksempel 5

På fig. 18 er vist vannføringen ut av rør nr. 39 for kjøring nr. 2 og 6. Begge situasjoner har samme simulerte regn i 20 minutter ifølge nedbørhydrogrammet i fig. 7.

Kurven med den største vannføringen er basert på antagelse av avrenning fra det totale nedslagsfelt med avrenningskoeffisient på 0,7. Denne koeffisient finnes oppgitt i håndbøker og avløpslitteraturen for slike forhold man har på Oppsal.

Anleggskostnadene ved dette alternativet ble av regnmaskinen beregnet til 3,893 mill.kr. Det virkelig eksisterende ledningsnettet er kostnadsberegnet til 3,778 mill.kr. etter dagens priser. Denne gode overensstemmelse kan tyde på at planleggerne har brukt en antagelse om avrenning fra totale arealer i feltet og med en avrenningskoeffisient på 0,7.

I England(1) har man imidlertid ved feltundersøkelser kommet frem til at den beste beskrivelse av avrenningsvannmengdene fås ved kun å anta avrenning fra tette flater som har direkte forbindelse med ledningsnettet. Dette vil si at gressplener, grusveier o.l. ikke vil gi et dimensjonerende bidrag til vannmengdene. Tyske forsøk (4) bekrefter det samme. Den lavest beliggende kurve på fig.18 representerer avløp fra tette flater på Oppsal. Det er tatt hensyn til fuktingstap og tap til overflatemagasining i ujevnhet o.l. Dette er vist med enkeltskravur i fig.7. Disse første 3 minuttene av regnhydrogrammet representerer tapet. Avrenningskoeffisienten er forøvrig satt til 1,0.

$$\begin{array}{lll} \text{Anleggskostnader, totale flater} & = 3,893 \text{ mill.kr.} \\ \text{"} & \text{tette "} & = 3,008 \text{ mill.kr.} \end{array}$$

Differansen er 885.000 kroner i anleggskostnader. Mange ledningsstrekninger får minstedimensjon uansett alternative forutsetninger. Dette vil dermed "overlagre" resultatet i noe grad. Dersom de tyske og engelske forsøk er riktige, vil dette si at nærmere en million kroner kunne vært spart på dette Oppsal-feltet, som totalt i areal utgjør ca. 54 ha. Feltundersøkelser på Oppsal-feltet i 1972 vil kunne belyse hvilken av de to metodene som er riktig.

Eksempel 6

Resultatene av nr. 6 og 7 (se tabell nr.1) er vist i fig.19. For begges vedkommende er det simulerte regnsvannet som angitt i fig.7. Situasjonene er identiske bortsett fra overflatevannets tilrenningstid til nærmeste ledning. I den ene situasjonen er tilrenningstiden satt til 6 minutter og i den andre 2 minutter. Vannmengden ut av rør nr.39, viser en liten økning for maksimum ved 2 minutters tilrenning. Tidspunktet for maksimum forskyves ca. 4 minutter.

Grunnen til den lille differensen i maksimal vannmengde i rør nr.39, er den selvregulerende effekt i ledningsnettet. Høyere opp i feltet er differensen betydelig større, slik at man har et visst utslag i de beregnede anleggskostnadene.

Anleggskostnader, 2 min.tilrenning = 3,074 mill.kr.
" 6 min. " = 3,008 mill.kr.

Differansen er 66.000 kroner. Dette beløp er **selvfølgelig lite** i forhold til 3 million kroner, men man må være klar over at i et ledningsnett av denne type vil det i enkelte områder alltid bli minstedimensjon på ledningene - uansett forutsetninger. Dette vil derfor være en konstant overlagring av resultatene.

Eksempel 7

I fig.20 er vannmengden ut av rør nr.39 vist for kjøring nr.8 og 9. Regnskylllet er basert på Oslo's nye dimensjonerende regnintensitetskurve, se fig.3. Det er således simulert et regnsvann med konstant intensitet 140 l/s i 20 minutter.

Situasjonene er identiske bortsett fra at et fordrøyningsbasseng er plassert i pkt.21 i den ene av situasjonene. Avløpet fra dette bassenget er forutsatt ikke å overstige 1000 l/s. Ifølge fig.10 blir maksimum nederst i feltet dempet med ca. 750 l/s. Det sees også at avløpet fra rør nr.39 ligger på 1000 l/s inntil den magasinerte vannmengde i bassenget i pkt.21 er tømt. Nødvendig bassengvolum er beregnet til 936 m^3 .

Anleggskostnader, situasjon uten basseng	= 3,988 mill.kr.
" ledninger (med basseng)	= 3,773 mill.kr.
" basseng	+ 0,389 " "
Totale anleggskostnader med basseng	= 4,162 mill.kr.

Innsparelsen i ledningskostnader oppveier ikke utgiftene til å anlegge basseng i dette tilfellet.

Eksempel 8

Fig. 21 viser vannføringen ut av rør nr. 39 for kjøring nr. 10, 11, 12 og 13. Se tabell nr. 1.

Det simulerte regnskyll er vist i fig. 8. og er lik for alle 4 situasjonene. Situasjonene er identiske bortsett fra at kjøring 11, 12 og 13 har et fordrøyningsbasseng i pkt. 21. Maksimalt avløp fra bassenget er ved kjøring 11 satt til 1100 l/s, ved kjøring 12 til 1000 l/s og ved kjøring 13 til 500 l/s. De respektive volumer er beregnet til 1041 m^3 , 1135 m^3 og 1659 m^3 .

Anleggskostnader uten basseng	= 4,587 mill.kr.
" med bassengavløp 1100 l/s	
inkl. bassenget	= 4,693 mill.kr.
" med bassengavløp 1000 l/s	
inkl. bassenget	= 4,707 mill.kr.
" med bassengavløp 500 l/s	
inkl. bassenget	= 4,726 mill.kr.

Heller ikke ved dette simulerte regnskyll var det økonomisk å anlegge fordrøyningsbasseng. Har man imidlertid valgt mellom å dublere en eldre ledning for å transportere avrenningsvann fra nye ovenforliggende felter, eller å anlegge fordrøyningsbassenger, vil ofte det siste alternativet falle gunstigst ut.

Eksempel 9

Fig. 22 viser vannføringen ut av rør nr. 39 for kjøring nr. 2, 5, 6 og 8. Kjøringene representerer alternative avrenningsforhold i nedbørfeltet. De store differanser i maksimumsvannføringene

tilsier at det er behov for feltundersøkelser og praktisk forskning innenfor feltet "dimensjonering av transportsystemer".

Eksempel 10

Det er i dette eksempelet illustrert hvordan en vannføring fra et bestemt rør forplanter seg og utjevnes nedover i ledningssystemet. Se fig.23. Det er forutsatt et regnskyll med konstant intensitet 670 l/s.ha i 6 minutter.

Tilrenningstid = 8 min.

Avrenningskoeffisienten: $\phi = 0$ for alle rør bortsett fra for rør nr. 28 som har $\phi = 0,7$.

Ledningssystemet er beregnet med eksisterende dimensjoner. Hensikten var å generere en vannmengde på maks. 1230 l/s i kun rør 28, og så studere utjevningseffekten nedover i systemet.

Oppsummering

Av de eksempler som her seriesse forutsetninger er det dyreste ledningsalternativet 50 % mer kostbart enn det billigste. Når man vet at 9 - 10 milliarder kroner vil bli investert for disse formål i løpet av få decennier, gir det en forståelse for at betydelige midler kan spares ved en forskningsinnsats innen avløpstransportsektoren.

4.3 Beskrivelse av regneeksempler med data hentet fra området Tørrkopp i Nøtterøy kommune

Området er kloakkert etter fellessystemet. Nederst i nedbørfeltet, punkt 1 i fig. 24, ligger et overløp som er prosjektert for å avlaste alle vannføringer som overskridet 36 l/s. Renseanlegget som ligger på nedstrømsiden av overløpet mottar følgelig en maksimal vannføring på 36 l/s. Beregningene som er utført nedenfor vil representere en meget forenklet beregningsmetode for avlastede forurensningsmengder. De forurensningsmengdene som passerer et overløp beregnes vanligvis på bakgrunn av en kritisk regnintensitet som vist i fig. 25. Den regnintensitet i_{kr} som setter overløpet i funksjon, beregnes ved hjelp av følgende formel:

$$i_{kr} = \frac{Q}{A \cdot \zeta_m}$$

Q = vannføring i røret når overløpet trer i funksjon.

A = areal av nedslagsfelt.

ζ_m = midlere avrenningskoeffisient.

En beregning etter disse betingelser tilsvarer et vannføringshydrogram benevnt metode 1 i fig. 26.

Tar man hensyn til forsinkelser og strømningshastigheter i rørene, kan man i prinsippet oppnå kurven som er benevnt metode 2 i fig. 26. EDB-modellen ville da i prinsippet få en vannføring etter metode 3, da man blant annet tar hensyn til rørmagasineringen og overflatemagasineringen. Det fremgår følgelig at beregningsmetodikken i prinsippet har stor betydning for resultatet av forurensningsberegningene.

Beregningsforutsetninger.

På dette stadium i arbeidet med systemanalysen har man imidlertid måttet foreta endel forenklinger i beregningsforutsetningene. Forurensningskonsentrasjonene i spillevann og regnvann er forutsatt å være konstante, noe som kan avvike sterkt fra de virkelige forhold. I eksempelet er bare BOF₇ benyttet som forurensningsparameter.

BOF ₇ i spillvann	125 mg/l
" regnvann	20 mg/l
Spillvannsavrenning:	0,00686 l/sek.person
Kritisk vannføring i overløp =	36 l/s
Renseeffekt i renseanlegg	= 90 % fjerning av BOF ₇

Renseeffekten er antatt uavhengig av den hydrauliske belastning og andre faktorer som i realiteten innvirker på prosessen.

Total nedbørhøyde pr. år = 836 mm

Midlere avrenningskoeffisient β_m = 0,179

Nedslagsfelt A = 86,95 ha

Antall personer = 2325

Følgende størrelser kan da avledes:

$$\text{Midlere spillvannsintensitet} = \frac{2325 \cdot 0,00686}{0,179 \cdot 86,95} = 1,03 \text{ l/s.ha}$$

$$\text{Kritisk vannføring i overløp} = \frac{36}{0,179 \cdot 86,95} = 2,31 \text{ l/s.ha}$$

Total mengde BOF₇ tilført pkt. 1 i løpet av året:

Fra spillvann:

$$2325 \text{ p. } 0,00686 \text{ l/s.p. } 125 \text{ mg/l. } 60.60.24.365.10^{-6} = 62500 \text{ kg/år}$$

Fra regnvann:

$$0,836 \text{ m/år. } 869,500 \text{ m}^2 \cdot 0,179 \cdot 20 \text{ g/m}^3 \cdot 10^{-3} = 2600 \text{ kg/år}$$

Total BOF₇ mengde tilført ledningssystemet årlig =

$$62500 + 2600 = 65100 \text{ kg BOF}_7/\text{år.}$$

På bakgrunn av kurvene i fig.4 og fig. 5 kan et middelårs nedbør inndeles i følgende typer nedbøraktivitet.

TABELL 2 Antatt fordeling av nedbør

Intensitet l/s.ha	Midlere Varighet minutter	Antall regn pr. år	Totalt antall regntimer pr. år
20,6	20	60	20
12,1	40	30	20
8,3	48	25	20
7,0	60	20	20
6,0	80	15	20
4,1	150	40	100
2,6	170	35	100
2,0	240	25	100
1,2	268	45	200
0,5	343	35	200
		= 330	= 800

Avlastningsberegning ved integrering av
varighetskurven. (manuell metode)

Ved å integrere varighetskurven i fig. 4 fås følgende forurensnings-avlastning (k.fr. fig.28).

$$Y = \phi_m \cdot A \cdot \int_{t=0}^{t=t_{kr}} C_m (i_s + i - i_{kr}) dt$$

Y = mengde forurensning (BOF_7) som passerer overløp pr. år

ϕ_m = midlere avrenningskoeffisient

A = nedslagsfeltets areal

i = regnintensitet pr. redusert hektar pr. sekund = $F(t)$

i_s = spillvannsmengde pr. redusert hektar pr. sekund (l/s.ha)

i_{kr} = vannføring pr. redusert hektar pr. sekund på det
tidspunkt overløpet trer i funksjon.

C_m = midlere forurensningskonsentrasjon (BOF_7) i regn-/spill-
vannsblanding

$$C_m = \frac{i \cdot C_r + i_s \cdot C_s}{i + i_s}$$

C_r = BOF₇- konsentrasjon i regnvann (overvann)

C_s = " spillvann

Innsettes den siste ligningen i den foregående og regnintensiteten innsettes som en funksjon av tiden, $i = f(t)$, fås ved numerisk integrasjon.

$$\underline{Y = 2773 \text{ kg BOF}_7 \text{ pr. år}}$$

$$\text{Avlastning til resipient} = \frac{2773 \cdot 100\%}{65100} = \underline{4,3\% \text{ pr. år}}$$

Følgende verdier er da brukt:

$$\begin{aligned} C_m &= 0,179 \\ A &= 86,95 \text{ ha} \\ i_{kr} &= 2,31 \text{ l/s.ha} \\ i_s &= 1,03 \text{ l/s.ha} \\ C_r &= 20 \text{ mg/l} \\ C_s &= 125 \text{ mg/l} \end{aligned}$$

Det er her antatt at C_s , C_r og i_s er konstante. I realiteten varierer disse størrelser også med tiden.

Har man gjennomsnittlig 90 % renseeffekt i renseanlegget, betyr 4,3 % avlastning i overløpet at utslippet av BOF til resipient øker 43 %. Ved 95 % renseeffekt i renseanlegget øker tilsvarende utslipp til resipient med nærmere 100 %.

Eksempel 1

Avløpssituasjonen ved feltet Tørrkopp er beregnet med et simulert nedbørhydrogram som fig. 7 viser. Fig. 27 viser vannføringen i pkt. 1 som funksjon av tiden. Det er antatt at overløpet trer i funksjon ved 36 l/s, hvilket er det dobbelte av dimensjonerende vannføring for renseanlegget. I ledningssystemet er det her brukt de dimensjoner programmet selv finner er nødvendig for å unngå oppstuvninger.

Ved dette regnskyllet går 1920 m^3 av det blandede avløpsvann i overløp i løpet av 77 minutter, mens 150 m^3 går til renseanlegget. Forurensningsmengde til resipient i løpet av dette 32 minutters regnskyll er beregnet til:

BOF_7 -mengde som passerer overløp i løpet av regnskyllet : 45,6 kg.

Dette representerer en lokal sjokkbelastning på recipienten. Avhengig av avløpsvannets karakter og recipientens kapasitet kan slike tidvise belastninger ha alvorlige følger både for recipientens dyre- og plantesamfunn og for den generelle bruk av vannforekomsten for ulike formål.

Eksempel 2

I dette eksempelet beregnes den samlede mengde organisk stoff, uttrykt som BOF_7 , som tilføres recipienten i løpet av ett år. Det er antatt bare to "forurensningslekkasjer" fra avløpsanlegget, nemlig fra renseanlegget og fra overløpet umiddelbart foran renseanlegget. Eksisterende ledningsdimensjoner er benyttet.

Det er dessuten antatt en nedbørfordeling som vist i tabell 2, og ellers de forutsetninger som allerede er nevnt tidligere. Kostnadsberegningen for eksisterende system etter 1971 priser er:

Anleggskostnad hovedledningssystem	= 2,23 mill.kr.
" renseanlegg (biologisk)	= <u>1,20 mill.kr.</u>
Totale anleggskostnader	= <u>3,43 mill.kr.</u>

Tabell 3 viser en sammenligning av beregningsresultater med EDB-modellen og en manuell analyse ved overløpsberegringer. Bilag 8 viser et eksempel på utskrift fra forurensningsberegringer for Tørrkopp-feltet ved et regnskyll på $12,1 \text{ l/s.ha}$ i 40 minutter.

Computeren UNIVAC 1108 brukte 2 minutter i sentralenheten for å simulere ett års nedbør i Tørrkopp-feltet. Feltet er oppdelt i 59 rørstrekninger.

TABELL 3

FORURENSNINGSBEREGNINGER NOTTERØY

Intensitets-intervallenes middel i l/sha	Enkeltregnskyllenes varigheit i timer pr. år.	Intervallenes variabilitet i minutter	Antall regn	Antall timer	Antall tidsfunksjon pr. år (ved EDB).	Antall timer overløpet er i funksjon pr. år (ved EDB).	Antall timer overløpet er i funksjon pr. år ved EDB.	Antall m ³ /d overløpt pr. år beregnet med metode	Antall kg BOF ^T overløpt pr. år beregnet ved EDB.	Antall kg BOF ^T overløpt pr. år beregnet med manuelt med andre metode.
20,6	20	20	60	11. - 71.	60,0	20	17 600	21 700	565	542
12,1	40	20	30	14. - 88.	37,0	20	10 200	12 100	334	342
8,3	48	20	25	17. - 94.	32,0	20	6 360	7 860	229	250
7,0	60	20	20	19. - 105.	28,6	20	5 260	6 500	194	216
6,0	80	20	15	21. - 124.	25,7	20	4 450	5 300	169	187
4,1	150	100	40	27. - 191.	109,2	100	13 800	15 600	585	647
2,6	170	100	35	37. - 205.	97,9	100	6 050	7 330	307	367
2,0	240	100	25	43. - 269.	94,2	100	3 320	3 980	187	222
1,2	268	200	45	0. - 0.	0	40	0	0	0	0
0,5	343	200	35	0. - 0.	0	0	0	0	0	0
S U M		800	330		484,6	440	67 040	80 370	2 470	2 773

Beregnet mengde BOF ₇ som passerer overløp	= 2470 kg/år
BOF ₇ ut av renseanlegg 0,1 . (65100-2470)	= <u>6263 kg/år</u>
Total mengde BOF ₇ tilført resipient	= <u>8733 kg/år</u>

Eksempel 3

I dette regneeksempelet er det forutsatt et fordrøyningsbasseng i pkt. 1 med et maksimalt avløp på 36 l/s. De regnskyll med intensiteter som overstiger den maksimale verdien i tabell 2 vil imidlertid gi vannføring i et nødoverløp i bassenget. I følge fig. 4 kan vi for enkelhets skyld anta at nedbørmengden fra disse regnskyll kan neglisjeres i forhold til den totale nedbørmengde over året. Fordrøyningsbassengets volum er beregnet til 346 m³, dimensjonert for det ugunstigste nedbørforholdet i tabell 2.

Anleggskostnad hovedledningssystem	= 2,23 mill.kr.
" renseanlegg	= 1,20 mill.kr.
" fordrøyningsbasseng	= <u>0,24 mill.kr.</u>
Totale anleggskostnader	= <u>3,67 mill.kr.</u>

For dette systemet vil følgende mengde BOF₇ gå i resipient:

$$\text{Regnvann} + \text{Spillvann}: 65100 \cdot 0,1 = 6510 \text{ kg BOF/år.}$$

Eksempel 4

Eksempelet belyser en situasjon hvor det forutsettes at hele ledningsnettet for Tørrkopp-feltet er utbygget etter separatsystemet.

Beregnede anleggs-kostnader for et tenkt separatsystem:

Ledninger 1,3 . 2,23	= 2,90 mill.kr.
Renseanlegg	= <u>1,20 mill.kr.</u>
Totale anleggskostnader	= 4,10 mill.kr.

Det er for enkelthets skyld antatt at separatsystemet koster 30 % mer å anlegge enn fellessystemet.

Med et gjennomført separatsystem ville følgende mengder BOF₇ tilføres resipienten:

Regnvann	= 2600 kg/år
Spillvann (90 % rensing) 62500 . 0,1	= <u>6250 kg/år.</u>
Total mengde BOF ₇ tilført resipient	= <u>8850 kg/år</u>

Forholdet mellom anleggskostnader og fjernet mengde forurensninger som beregnet i de tre siste eksemplene er vist i tabell 4.

Konklusjon

Tabell 3 viser at tidligere metoder gir avvik på 10-20 % fra en mer korrekt metodikk m.h.t. m³ avløpsvann og kg BOF₇ som passerer overløp samt antall timer overløpet er i funksjon. Antall % avvik er sterkt avhengig av intensiteten og regnskyllets varighet. Ved et regnskyll på 6 l/s.ha i 15 minutter kan det nevnes at avviket var på 180 % for BOF og 350 % for m³ avløpsvann som passerer overløp. Disse tall gjelder spesielt for Tørrkopp med ca. 2300 personer. Ved større felter vil utslaget bli større på grunn av ledningsnettets økede magasineringsevne.

Regneeksemplenes forutsetninger er meget sterkt forenklet og beregningsresultatet kan muligens være direkte misvisende. Hensikten med eksemplet er imidlertid å henlede oppmerksomheten på mulighetene for å integrere forurensninger i beregninger av avløpssystemer.

Tabell nr. 4 Sammenligning mellom ulike systemer. Anleggskostnad - forurensninger.

Ledningssystem		Eksisterende fellessystem		Fellessystem med fordøyningsbasseng		Separatsystem	
Anleggskostnad i Kg. BOF ⁷ tilførte restplenten pr. år mell. hr.	3,43	8733	56367	16,43	58590	15,96	13,72
Antall. hr.	3,67	6510	6510	4,10	8850	56250	
Antall. hr.	4,10	8850	56250				

5. FORTSATT UTVIKLINGSARBEID

5.1 Videre utvikling av analysemodellen

Det videre arbeidet med modellen kan inndeles i tre deler:
Hydraulikk, økonomi og forurensninger.

5.1.1 Hydraulikk

Den hydrauliske modellen bør kompletteres slik at oppstuvningsberegninger kan utføres. Dette har betydning når maksimale flomberegninger i ledningsnettet skal utføres.

Modellen skal også utvides med en subroutine som skal kunne beregne forgreninger av vannstrømmer og deres påvirkning av oppstuvninger i ledningssystemet. Disse beregningene vil måtte basere seg på energilikevektsbetrakninger og en iterasjonsmetodikk.

Den hydrauliske modellen må dessuten justeres og eventuelt korrigeres etterhvert som resultater fra feltundersøkelser foreligger og andre praktiske erfaringer oppnås.

5.1.2 Økonomi

Foreløpig kan modellen bare beregne anleggskostnader for de ulike komponenter. For å få en fullstendig og riktig analyse, må også driftsutgifter, vedlikeholdsutgifter, energikostnader, rentebelastninger, reinvesteringer, avskrivninger og liknende begreper tas med.

Det vil da antagelig være hensiktsmessig å benytte blant annet nåverdibetrakninger for å kunne sammenlikne de ulike alternativer.

Et foreliggende EDB-program som er utviklet ved NIVA for økonomiske beregninger, vil om mulig bli benyttet i størst mulig grad.

5.1.3 Forurensninger

Foreløpig er modellen slik at man leser inn en konstant forurensningskonsentrasjon for henholdsvis regnvann og spillvann.

Modellen må imidlertid utvides slik at konsentrasjonen i de ulike vanntyper kan leses inn som en funksjon av tiden. Det må også foreligge muligheter til å ta hensyn til endringer i konsentrasjoner ved passering av f.eks. bassenger, overlop, renseanlegg, d.l. Hensynet til slamavsetninger i rørsystemet med påfølgende utsøyling ved store vannføringer må dessuten bringes inn som en variabel faktor, avhengig av bl.a. transportsystemets utforming.

5.1.4 Generelt

Det må legges inn en rekke prinsippfunksjoner som beskriver effekten av ulike kombinasjonsmønster av enhetsoperasjoner i renseanlegg som funksjon av hydraulisk belastning, forurensningsbelastning, økonomisk innsats, temperatur og andre relevante parametere. De virkelige sammenhenger, basert på observasjoner i forsøks- og fullskalaanlegg, kan bygges inn modellen i steden for prinsippfunksjonene når disse finnes. Det gjelder forøvrig alle de funksjoner og sammenhenger som er antatt, at disse kan justeres og forandres etterhvert som kunnskapsnivået utvides gjennom utviklingsarbeid på en rekke felter.

Som skissen på side 2 viser, må man anta systemvariable og beslutningsvariable for å finne tilstandsvariablene. Dette har karakter av en prøve-feile metode som har som mål å finne det optimale systemet. På lang sikt bør man imidlertid utvikle en selvstendig optimaliseringsprosess, slik at tilstandsvariablene velges (samt delvis systemvariablene) og maskinen beregner selv de optimale beslutningsvariablene.

5.2 Bruk av modellen til planleggings- og prosjekteringsformål.

Planleggende og prosjekterende organer i stats- og kommuneadministrasjonen samt rådgivende ingeniører i VA-teknikk vil enkelt kunne benytte modellen til omfattende analyser av

eksisterende og fremtidige avløpssystemer. Dette vil uten tvil ha omfattende økonomiske og miljømessige fordeler.

NIVA ønsker dessuten å benytte modellen til en mer detaljert analyse av de enkelte anleggskomponenters betydning i avløpsproblematikken. Gjennom en trinnvis utvikling av systemanalysen slik som foreslått ligger forholdene godt til rette for å anvende modellen for praktiske oppgaver etterhvert som arbeidet utvikler seg. Modellen må allerede ansees å være brukbar for en rekke hydrauliske beregningsoppgaver.

På noe lengre sikt vil kanskje systemanalysen ha sin største betydning som et viktig ledd i vassdragsforvaltningen. I denne sammenheng vil en slik teknisk modell eventuelt bindes sammen med tilsvarende modeller som eksempelvis beskriver resipientenes biologiske reaksjonsmekanismer, nasjonalekonometriske miljøeffekter og sosiologiske problemstillinger.

På fig. 29 er vist en skjematiske oversikt over problematikken omkring vannforurensningene. Systemanalysen kan da tenkes å komme inn i "boksen" øverst i figurens høyre hjørne.

5.3 Tidsmessig fremdriftsplan

Det er tatt sikte på å fullføre mesteparten av feltundersøkelsene for testing av den hydrauliske modellen i løpet av 1972.

Videre vil antagelig arbeidet med å bygge inn de fleste prinsipp-funksjoner i EDB-modellen være fullført i løpet av 1972/73.

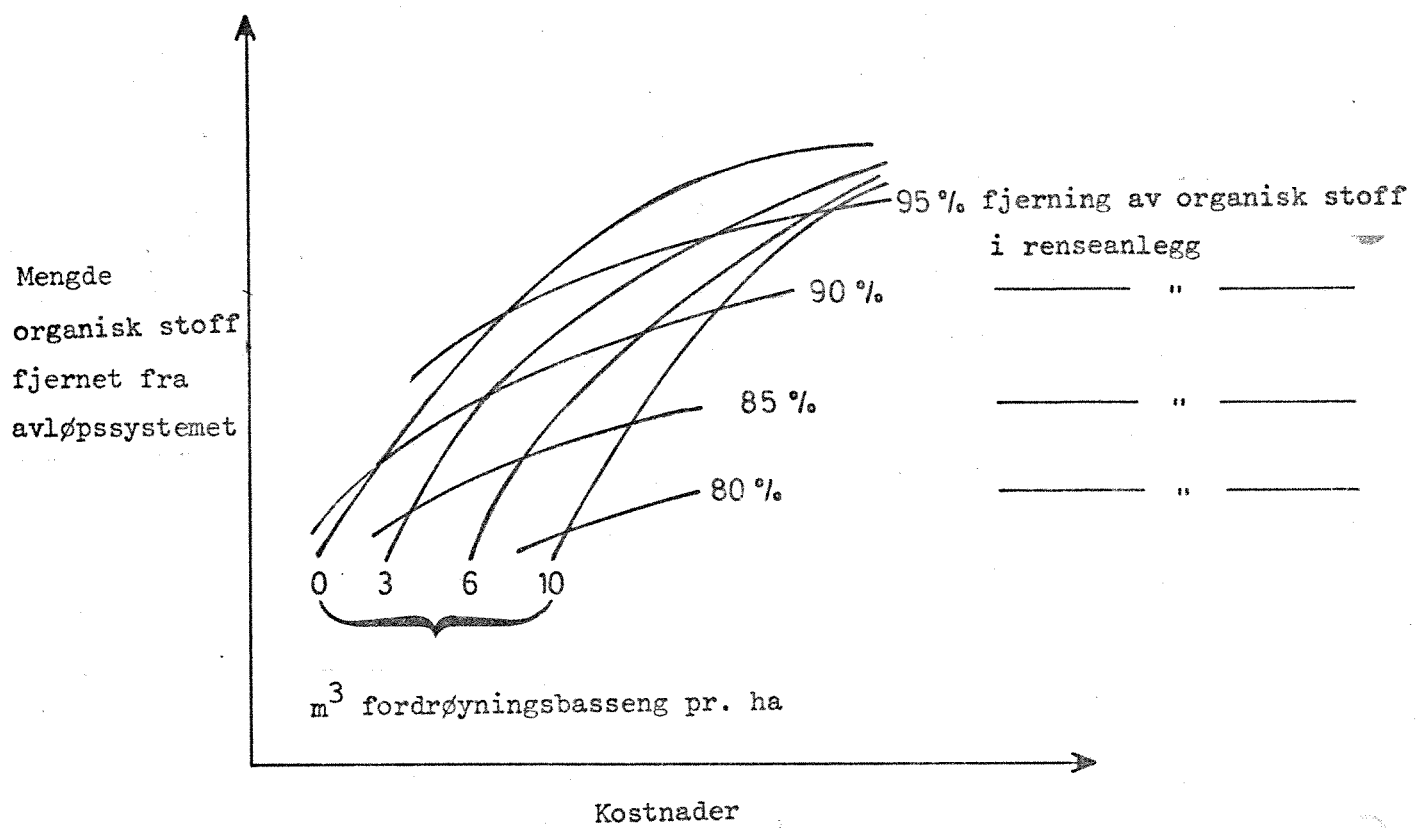
Etter hvert som erfaringer innvinnes gjennom egne feltobservasjoner samt praktisk bruk av modellen og utviklingen i de andre Plu-prosjektene medfører tilgang på grunnlagsmateriale, vil kompletteringar og justeringer bli gjennomført. Dette arbeidet vil foregå i tidsrommet 1972-76.

Arbeidet med å utvikle en selvstendig optimaliseringsprosess bør foregå i tidsrommet 1973-76 (j.f. kapittel 5.1.4).

REFERANSER

- (1) Watkins L.H. "The Design of Urban Sewers Systems", Road Research Technical Paper no.55. Dept. of Scientific and Industrial Research, London, Her Majesty's Stationery Office, 1962.
- (2) Tholin, A.L. and Keifer, C.I.: "The Hydrology of Urban Runoff", Transactions, ASCE, Vol.125, Part I, 1960 pp. 1308-1379.
- (3) Thorndal, U.: "Nedbørshydrografer", Stads og havneingeniøren 7. 1971 side 130 - 131.
- (4) Pecher, R.: "Der Abflussbeiwert und seine Abhängigkeit von der Regendauer". Berichte aus dem Institut für Wasserwirtschaft und Gesundheitswesen. Technische Hochschule München. 1969 nr. 2.

Fig. 1 Eksempel på optimalisering Forurensninger - økonomi



Forurensningskonsentrasjoner, mengder, variasjoner

Renseeffekter, varigheter, hyppigheter

forhold, kostnader, temp., r, temp.

Renseeffekter som funksjon av belastnings-

forhold, kostnader, temp., r, temp.

Avrenningsfunksjoner og
koefisienter

DATA FRA SPESIELLE
ANALYSEOBJEKTER

DATA OM AVLØPSSYSTEMET
DATA OM FORURENSNINGSBELASTNING
DATA OM MARKFORHOLD
SPESIELLE PARAMETERE o.l.

PRIMÆR
DATA

Avløp i
tørre perioder

Beregningmodeller og data vedr.
overlop og bassenger

Kostnader ved gjennomgang og deponering. Forurensn.

P R A 1.1

AVLØPSVANNETS
MENGDE OG
SAMMENSETNING

P R A 2.1

FORSØKSANLEGG
PÅ KJELLER

P R A 2.2

KJEMISK FELLING
I EKSISTERENDE
RENSEANLEGG

P R A 3.1

DISPONERING
AV SLAM

P R A 4.1

DATA FOR
KORTTIDSNEDBØR

P R A 4.2

URBANISERINGENS
INNFLYTELSE PÅ
AVRENNINGEN

P R A 4.4

SELVRENSING OG
SLITASJE I RØR

P R A 4.5

FORDRØYNINGS-
BASSINGER OG
OVERLØP

P R A 4.6 SYSTEMANALYSE

KOSTNADSFUNKSJONER - ØKONOMIFORML.
HYDRAULISKE FUNKSJONER
SPESIELLE AVRENNINGSFUNKSJONER
SYSTEMPARAMETERE

MATEMATISK EDB - MODELL

SAMMENFATTENDE HYDRAULISK, ØKONOMISK OG FORURENSNINGSMESSIG
ANALYSE AV AVLØPSSYSTEMER

Fig. 2

Fig. 3 Intensitetskurver

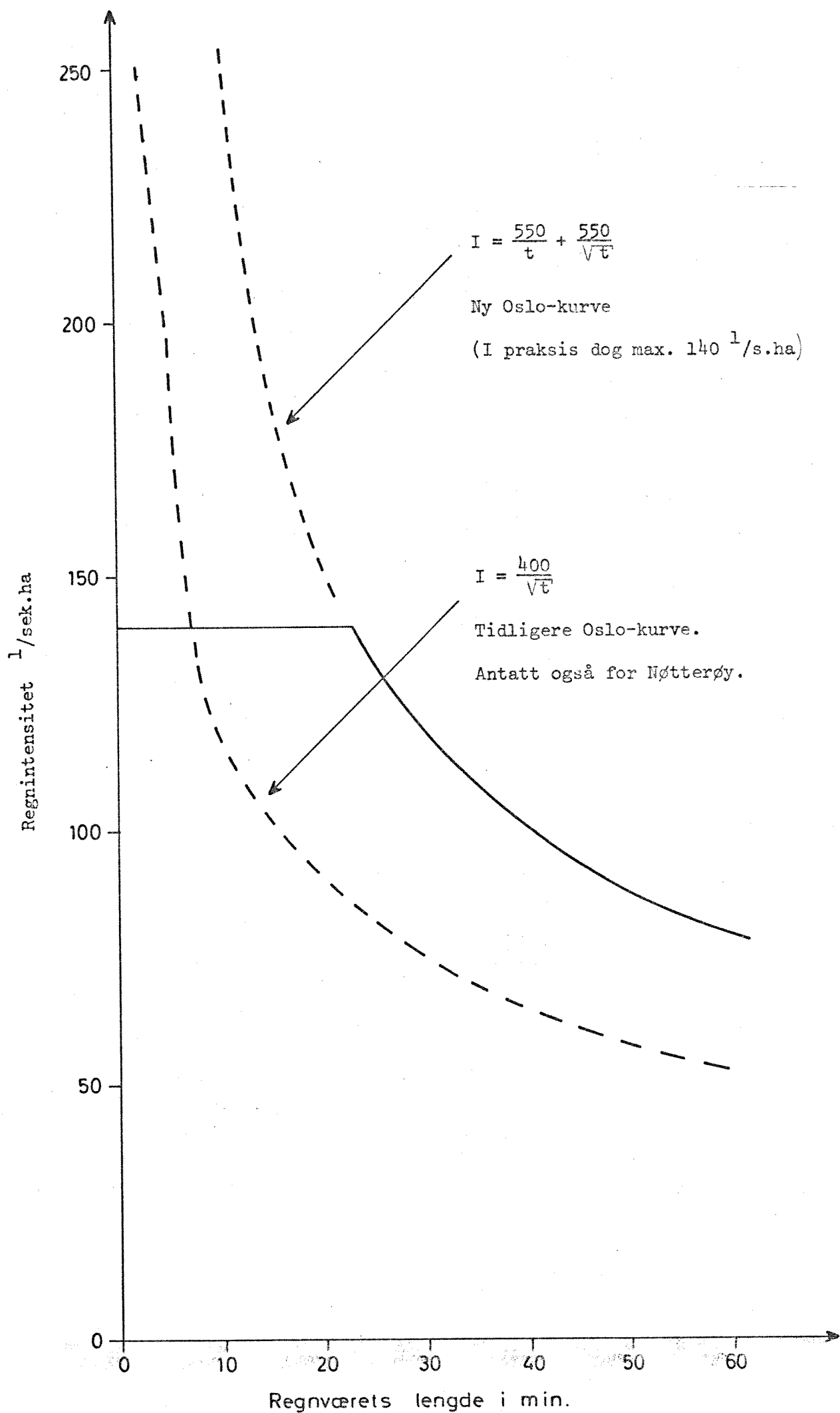
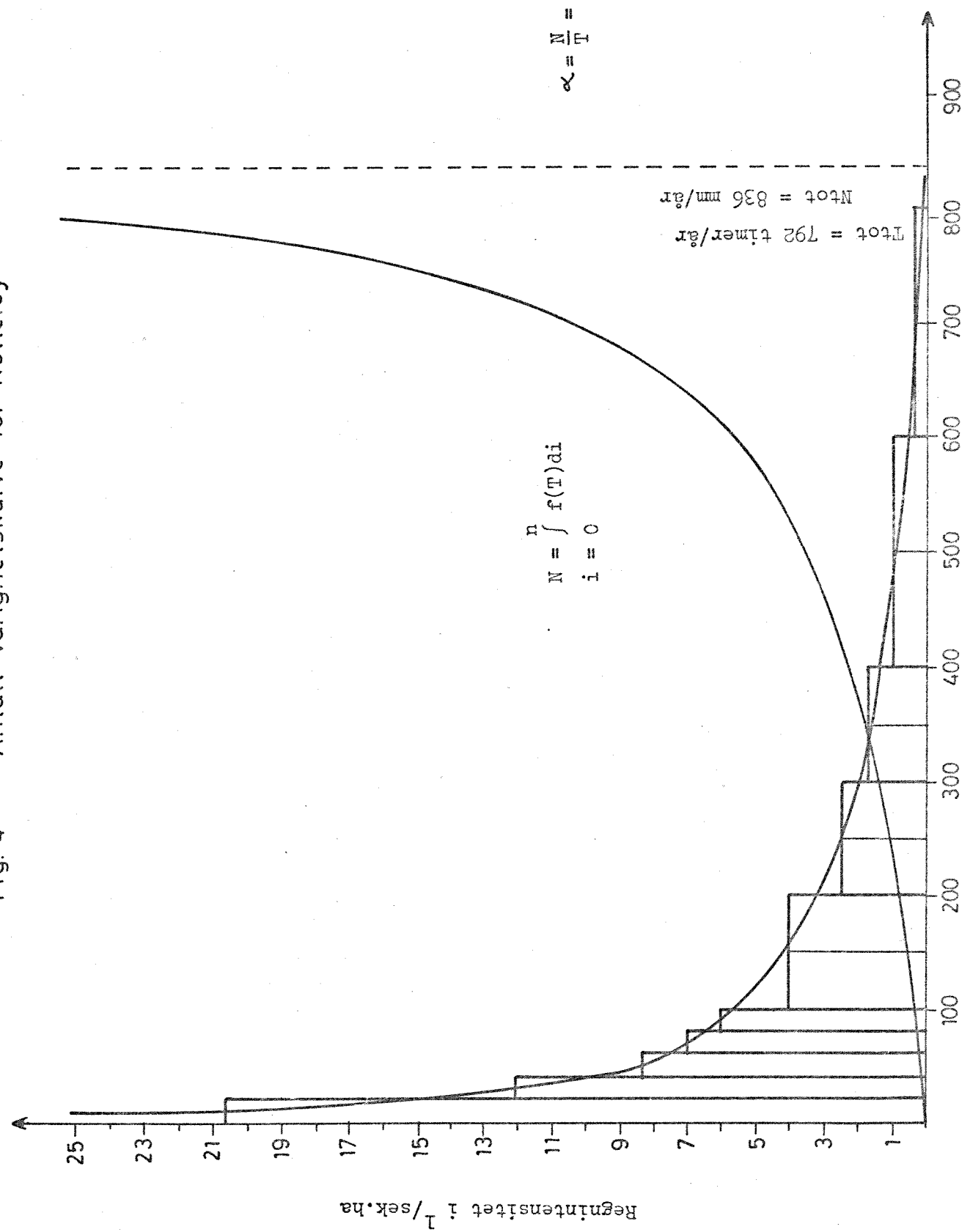
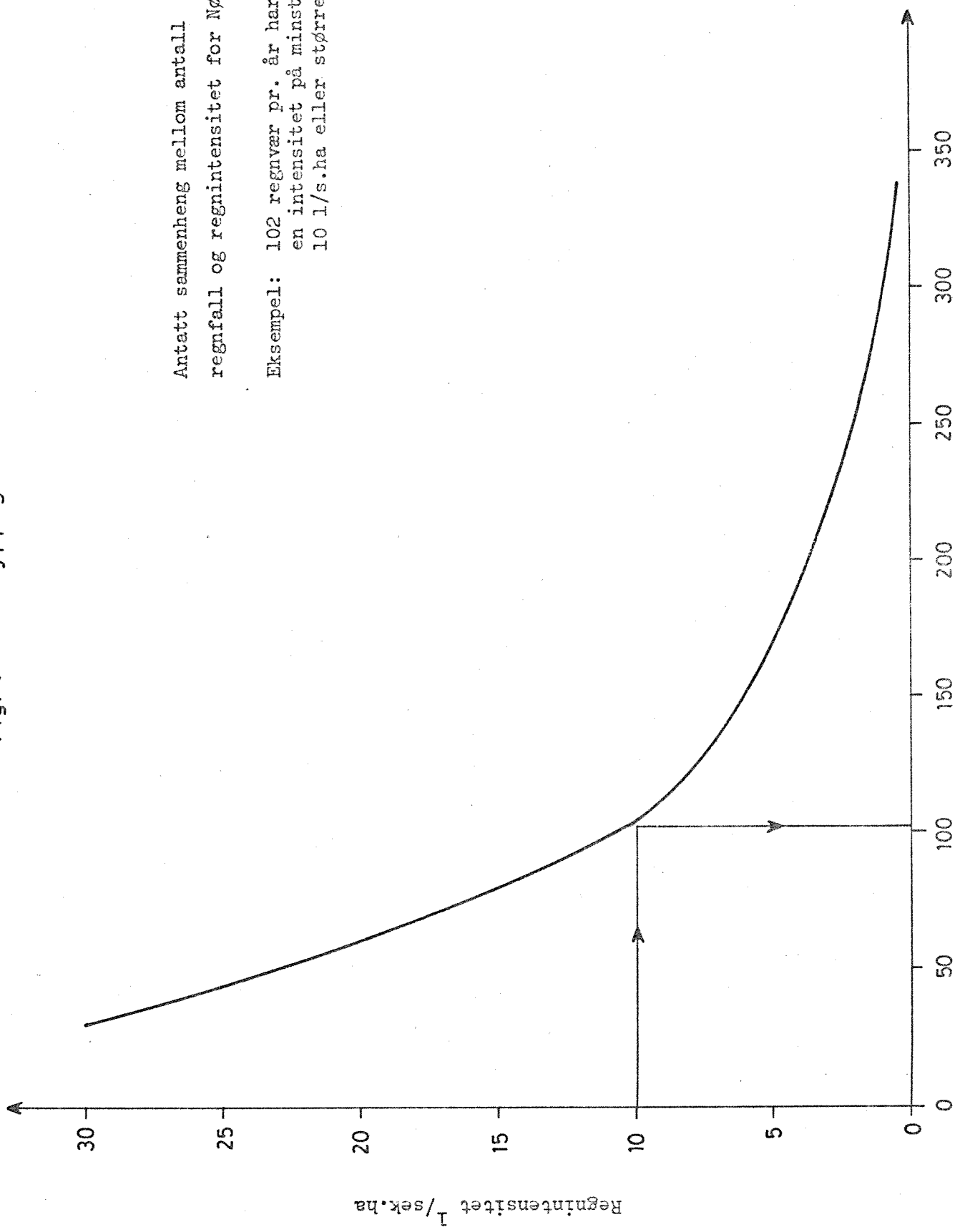


Fig. 4 Antatt varighetskurve för Nötteröy



Regntid (T) i timer, henholdsvis nedbørshøyde (N) i mm

Fig. 5 Hypighetskurve



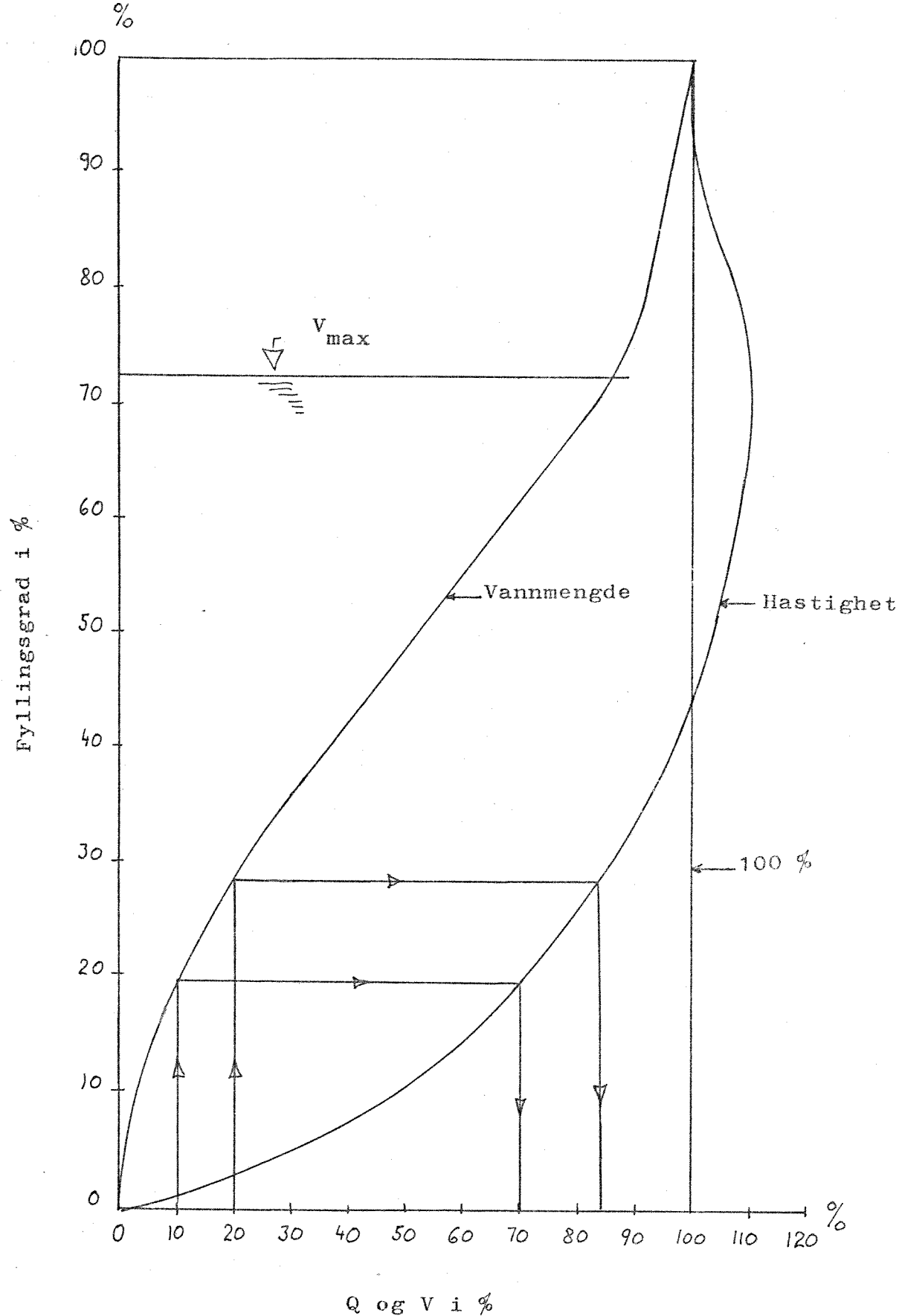


FIG. 6 DELFYLLINGSKURVE

FIG. 7 NEDBØRSHYDROGRAM BASERT PÅ INTENTITETSFORMELEN

$$I = 400 / \sqrt{t} \text{ med delintervaller 1 minutt}$$

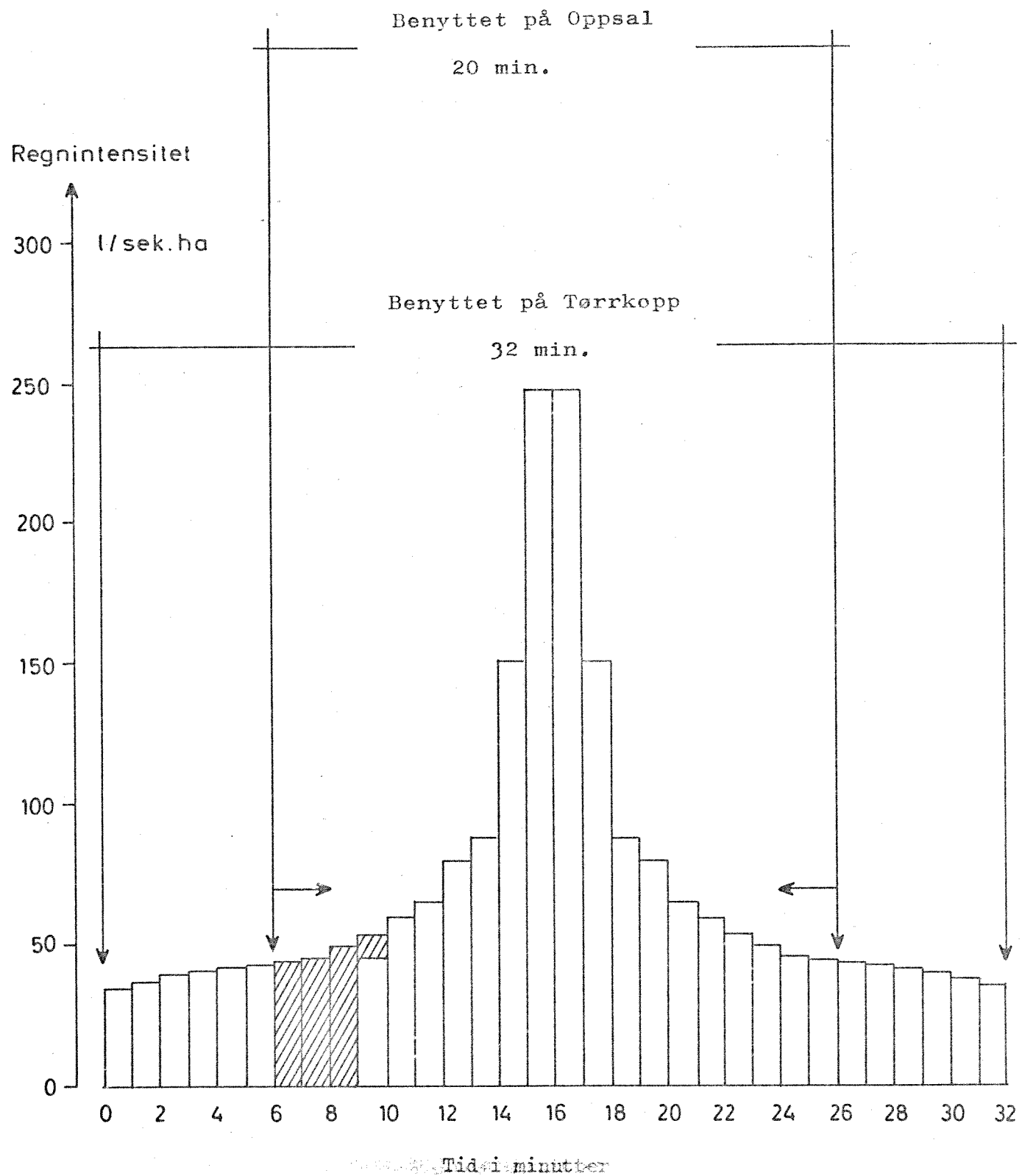
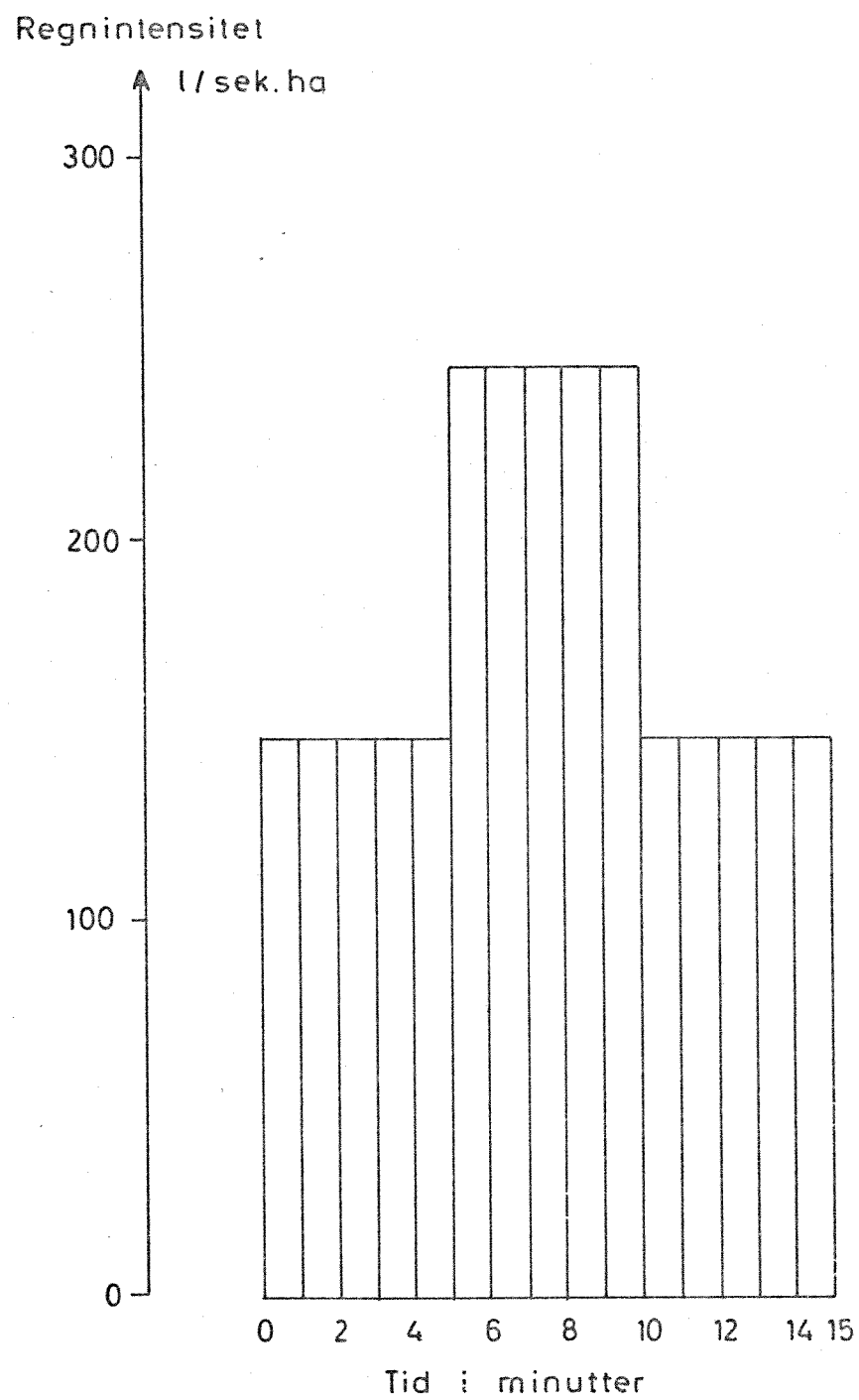


FIG. 8 NEDBØRSHYDROGRAM BASERT PÅ INTENSITETSFORMELEN

$$I = 550/t + 550/\sqrt{t}, \text{ med}$$

delintervaller på 5 minutter



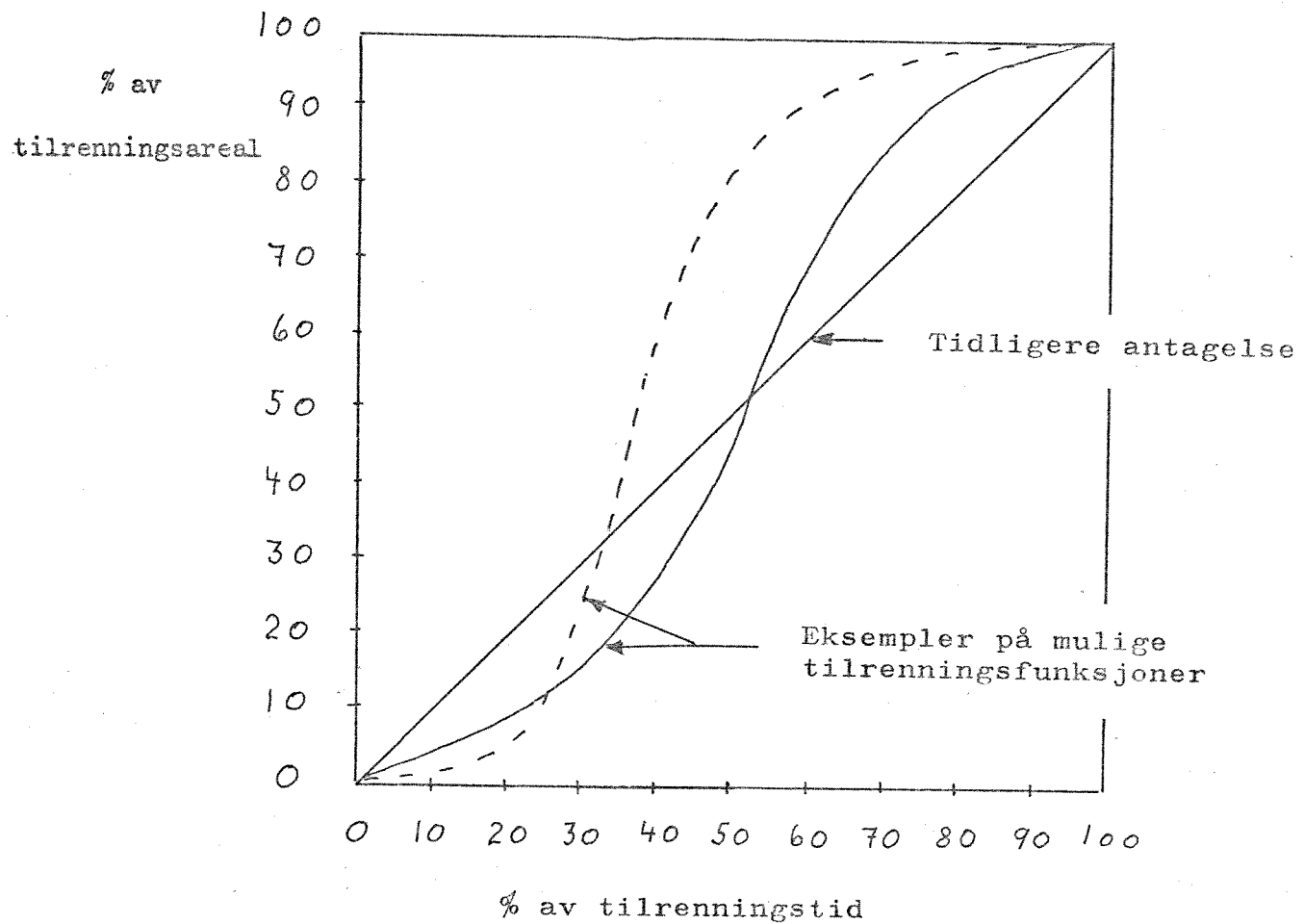


FIG. 9 TILRENNINGSFUNKSJON

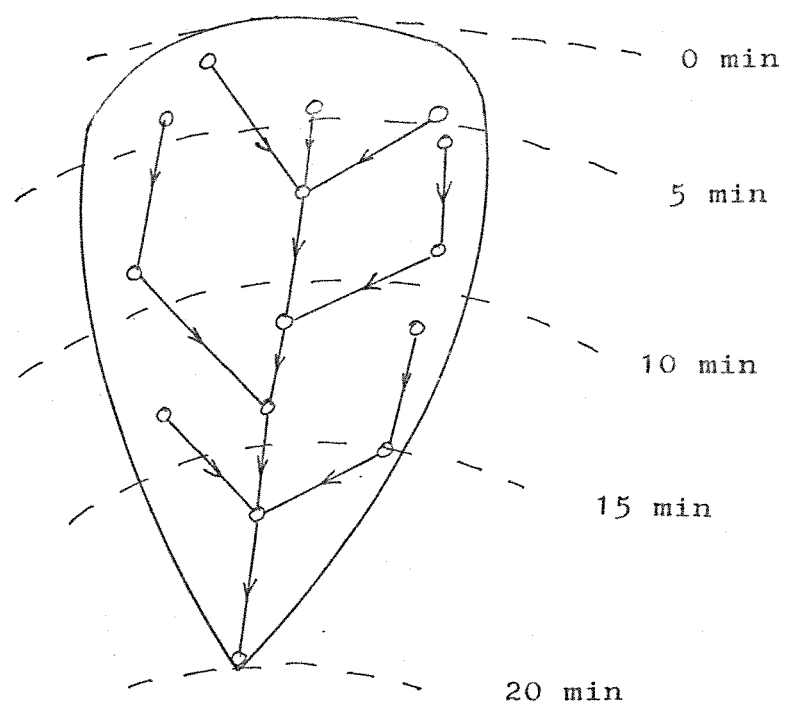


FIG. 10 NEDSLAGSFELT MED TIDSKURVER

Fig. 11

Anleggskostnader for ledninger ved Oppsal og Nötteröy

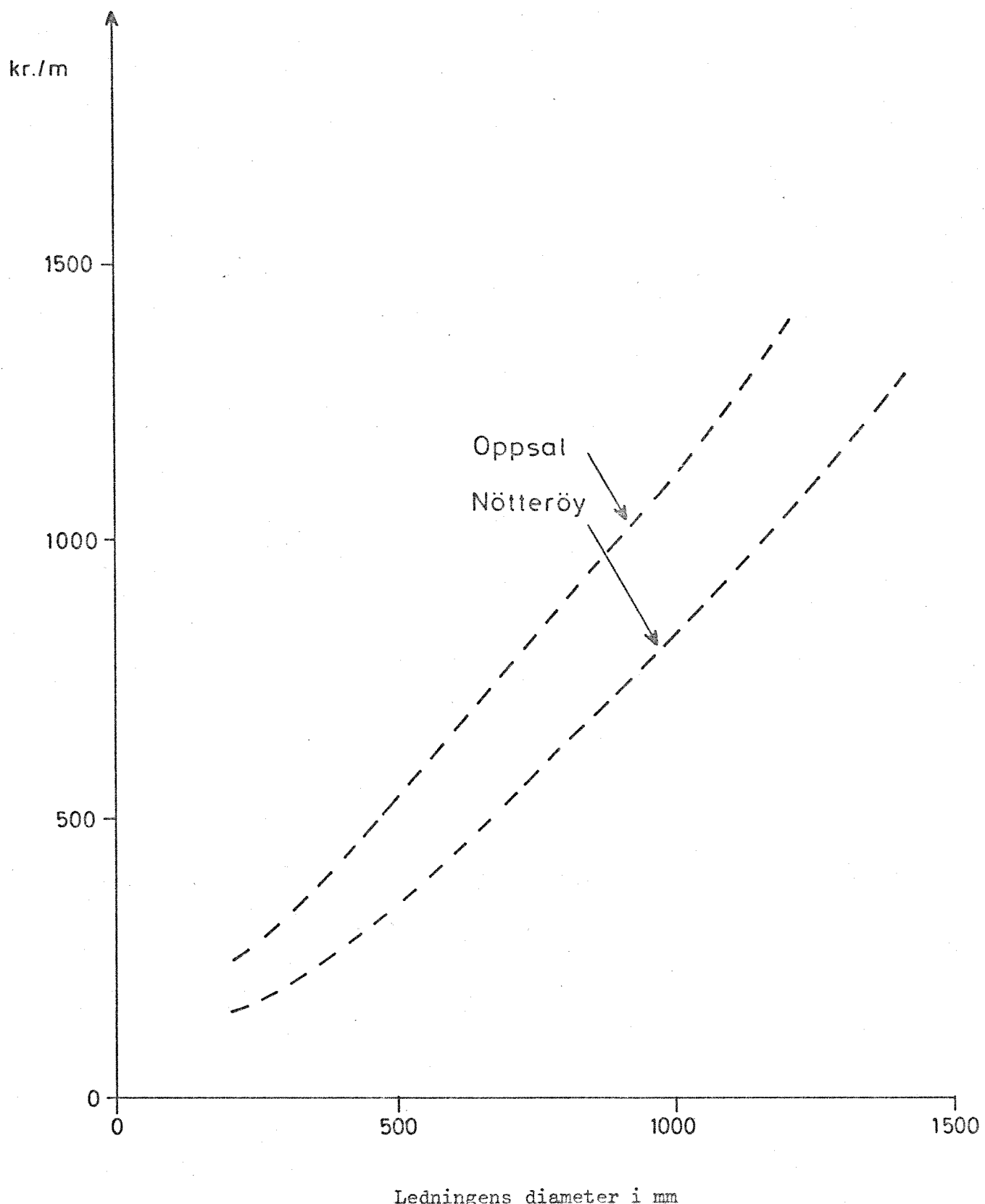


Fig. 12

Anleggskostnader for fordrøyningsbasseng ved Nøtterøy og Oppsal

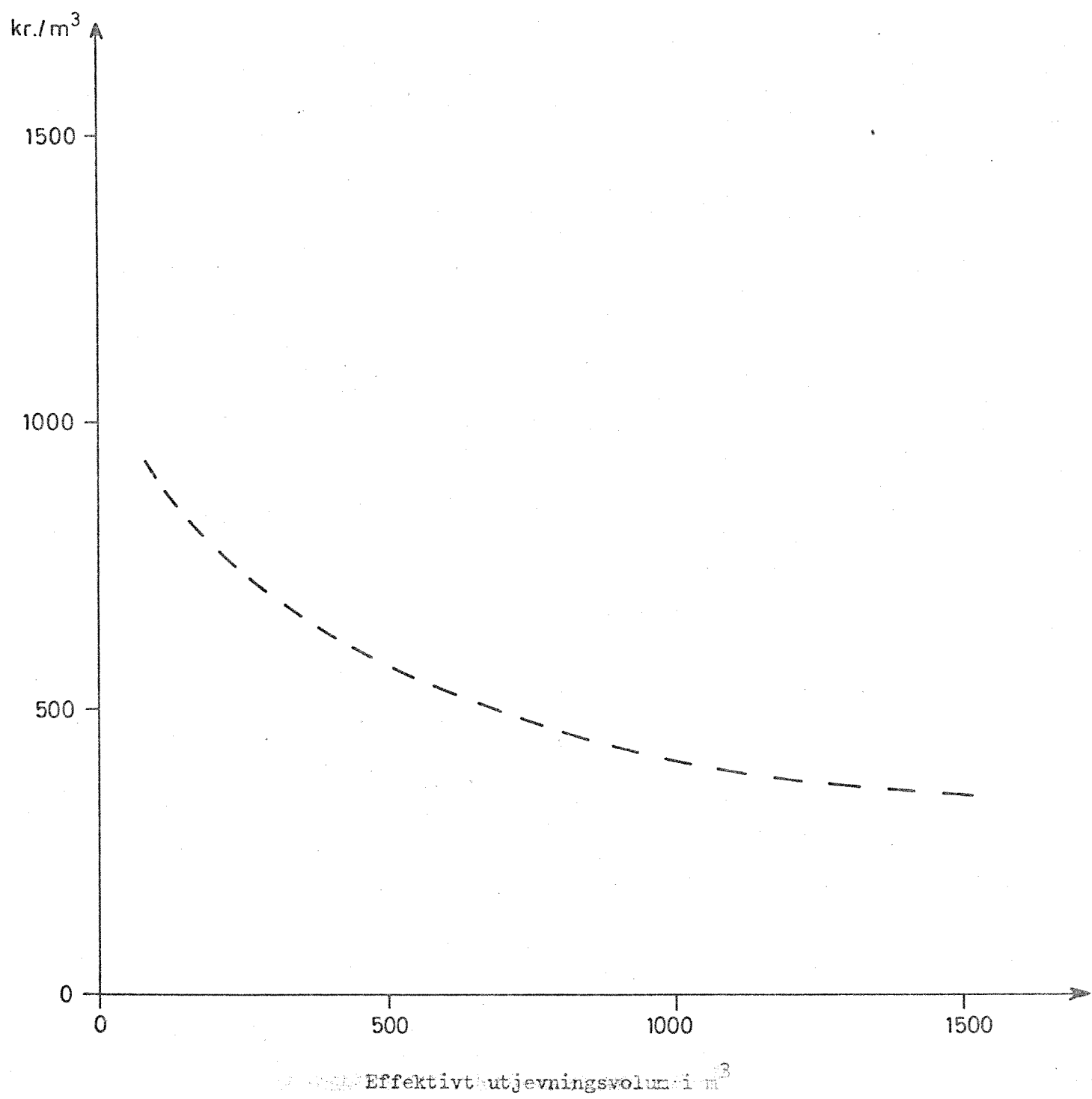


Fig. 13

Oppsal Skjematisk ledningsnett

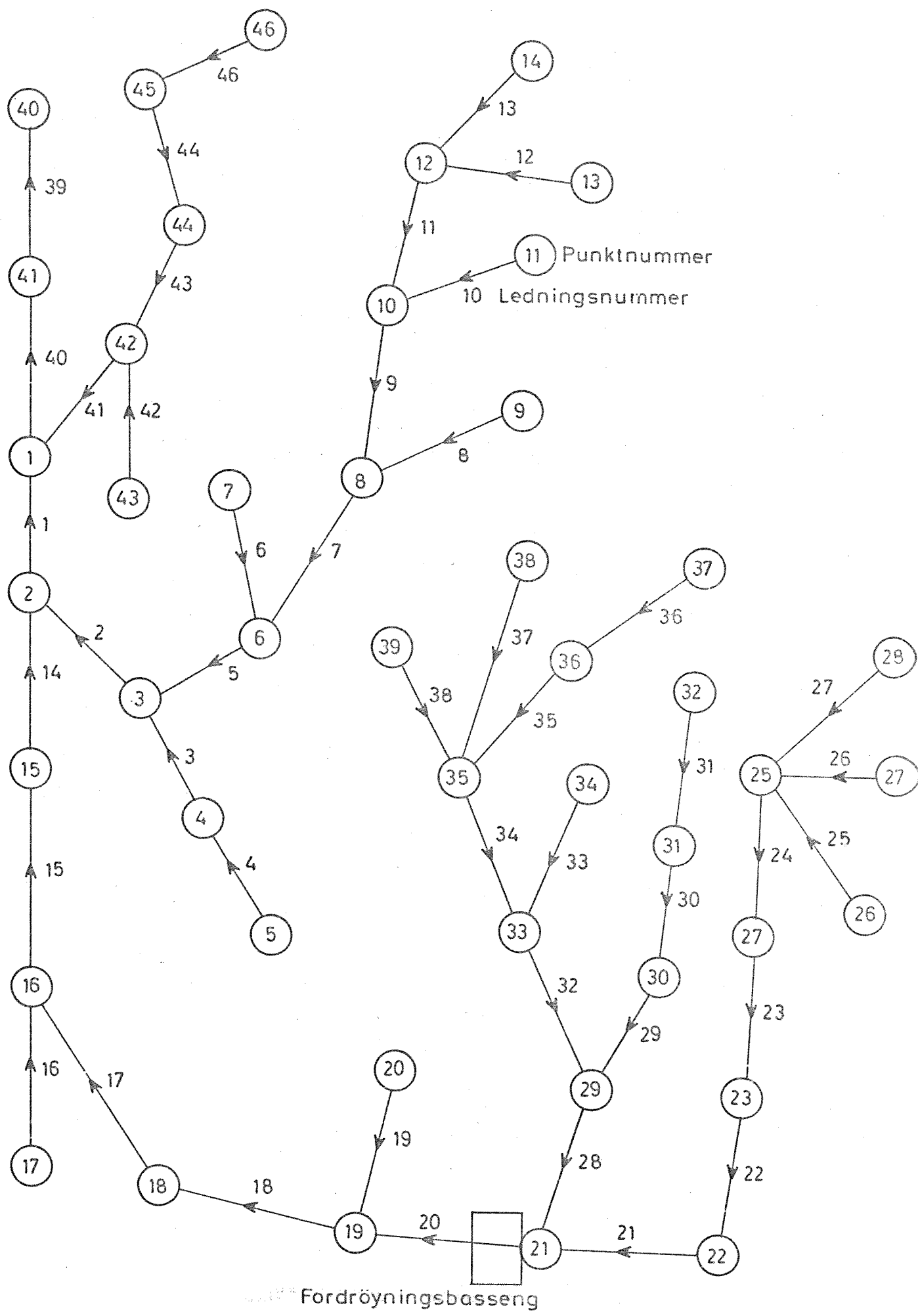


FIG. 14 EKSEMPEL PÅ DEN TIDSMESSIGE FORDDELING AV BEREGNEDE VANNFORINGER I ULIKE RØR I OPPSALS
LEDDNINGSNETT

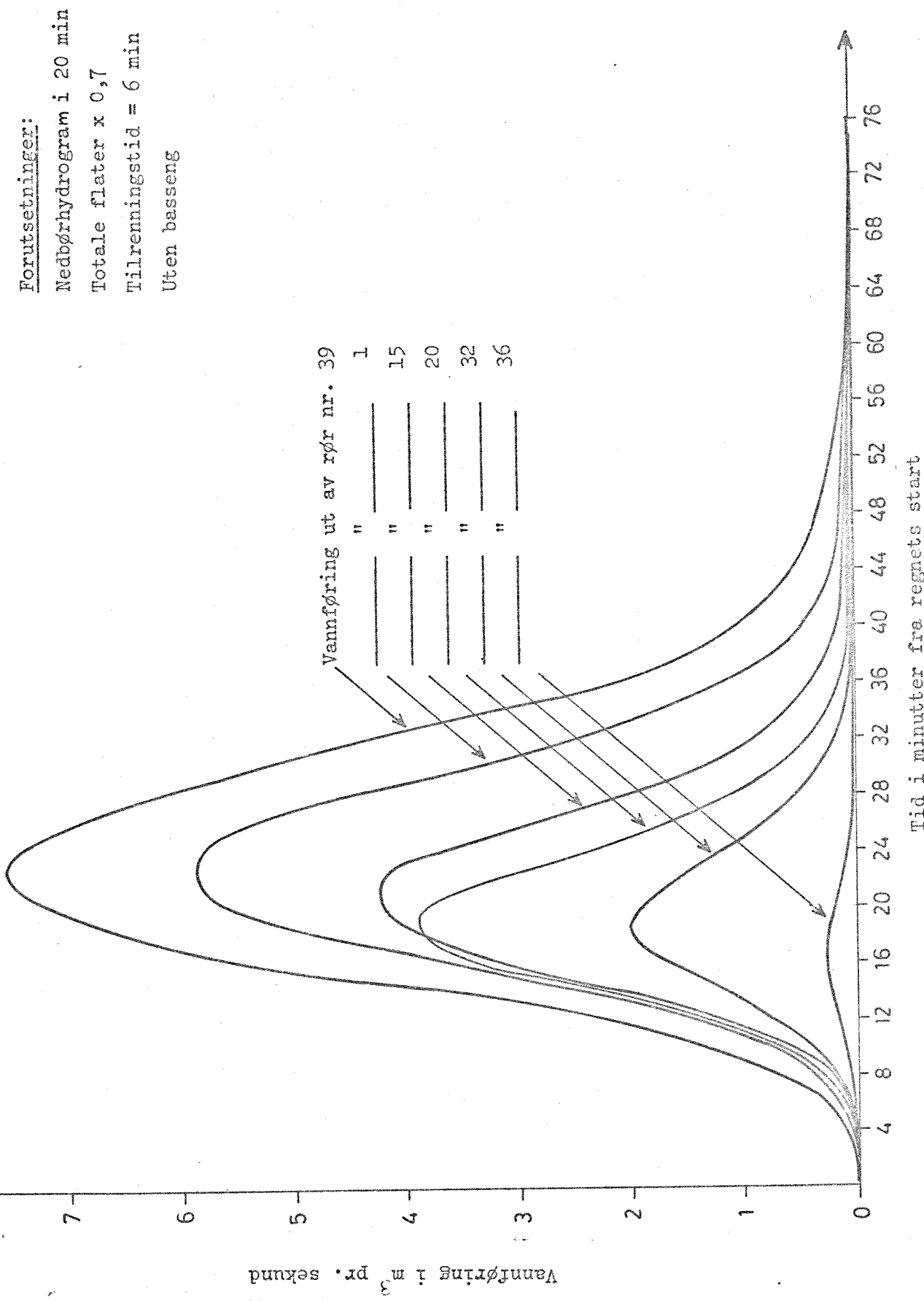
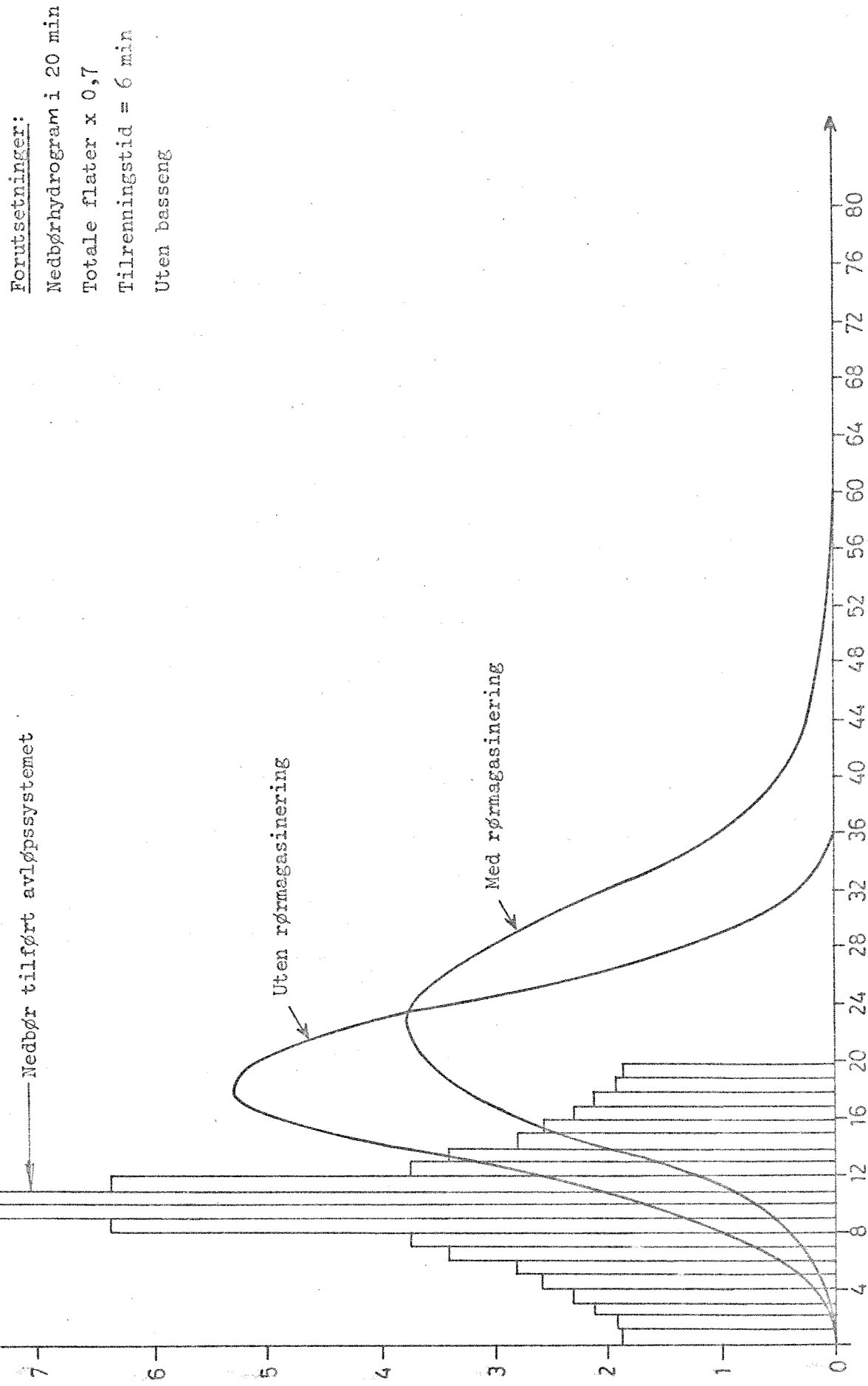
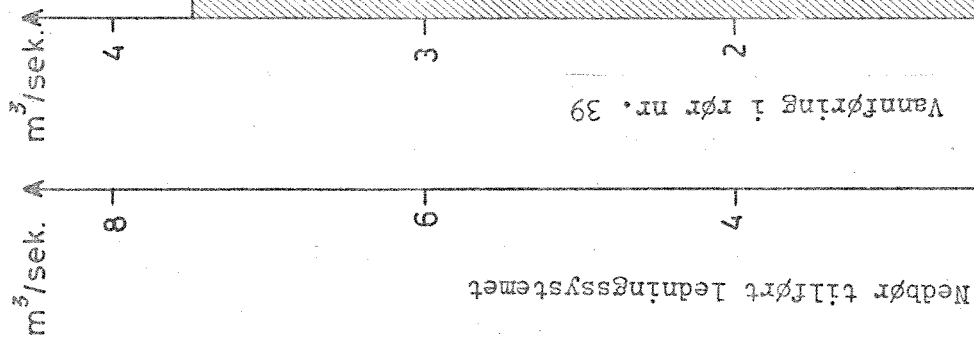


FIG. 15 EKSEMPEL PÅ EFFEKten AV Å TA HENSYN TIL RØRSYSTEMETS MAGASINERINGSVENE

Vannføring ut av rør nr. 39



Forutsetninger:

179 l/s ha i 5 min

Totale flater x 0,7

Tilrenningstid = 6 min

Uten basseng

✓ Uten magasineringseffekt i rørsystemet

Nedbør tilført avløpssystemet
(se egen skala)

Fiktivt overløp

✓ Med magasineringseffekt i rørsystemet

Tiid i minutter fra regnets start

FIG. 17 EKSEMPEL PÅ EFFEKTEN AV ULIKE FORUTSETNINGER VEDRØRENDE NEDBØRSTID

Vannføring ut av rør nr. 39

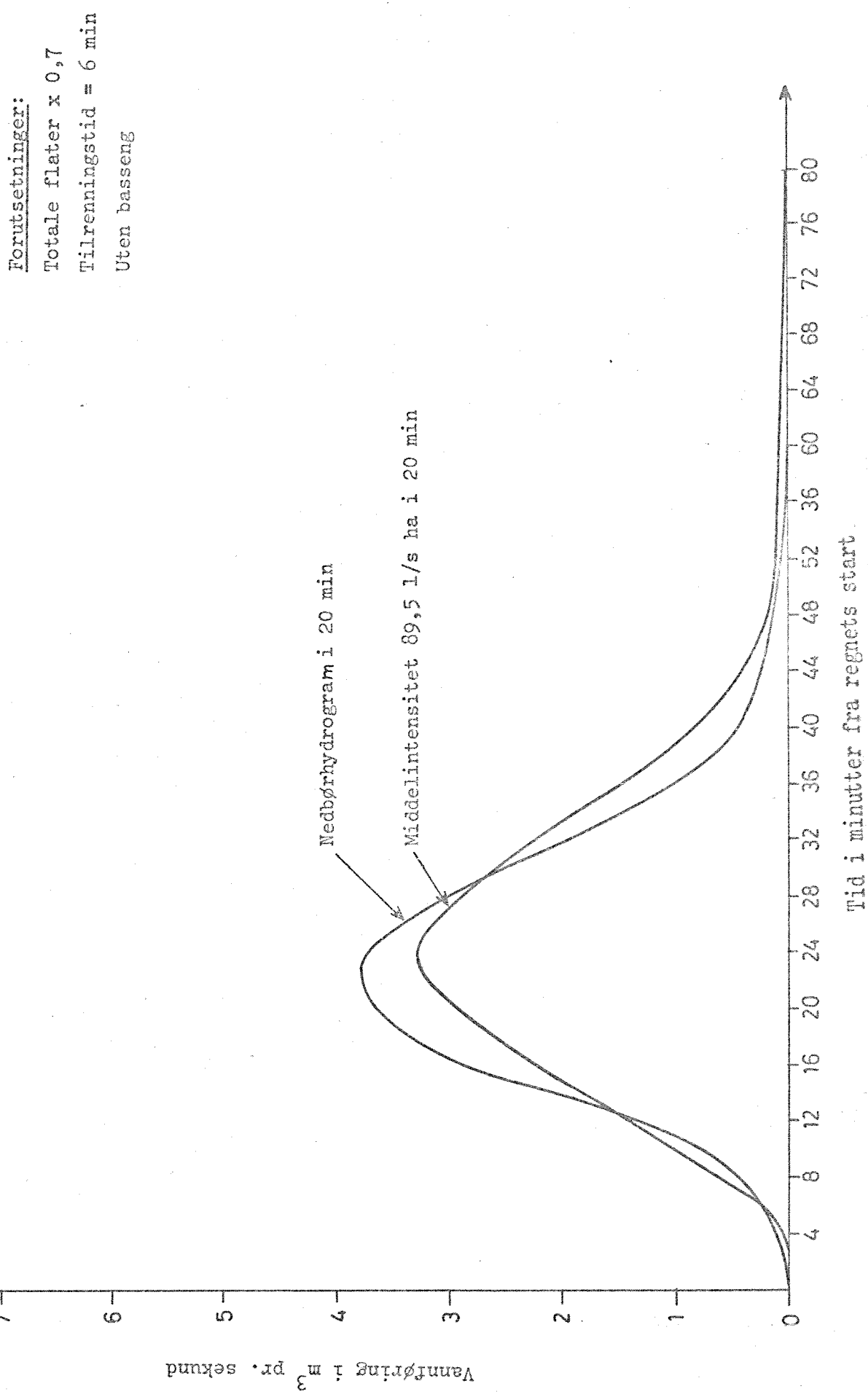


FIG. 18 EKSEMPEL PÅ EFFEKten AV AVRENNINGSFORHOLD

Vannføring ut av rør nr. 39

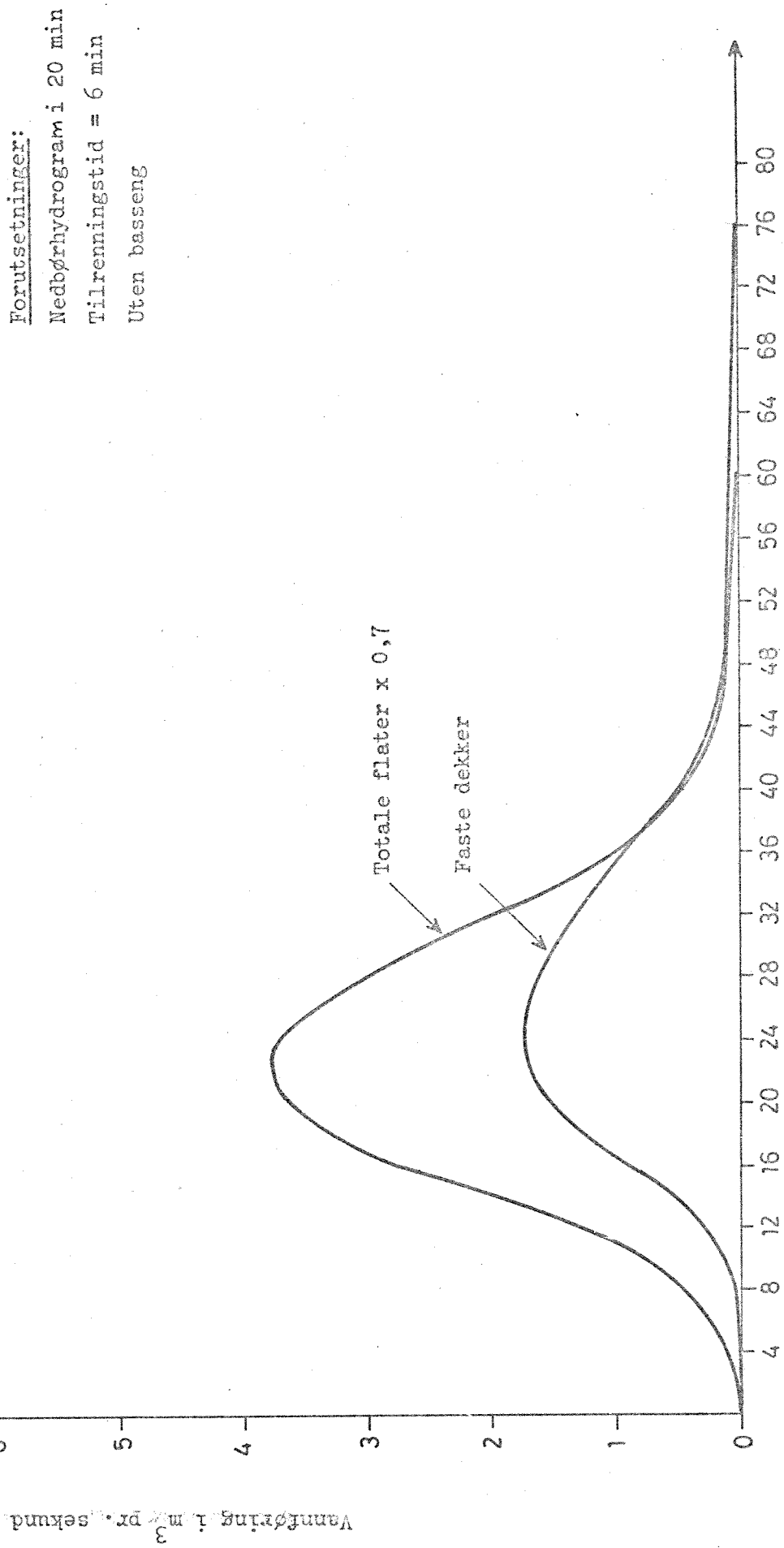


FIG. 19 EKSEMPEL PÅ BRUK AV VARIERENDE TILRENNINGSTIDER

Vannføring ut av rør nr. 39

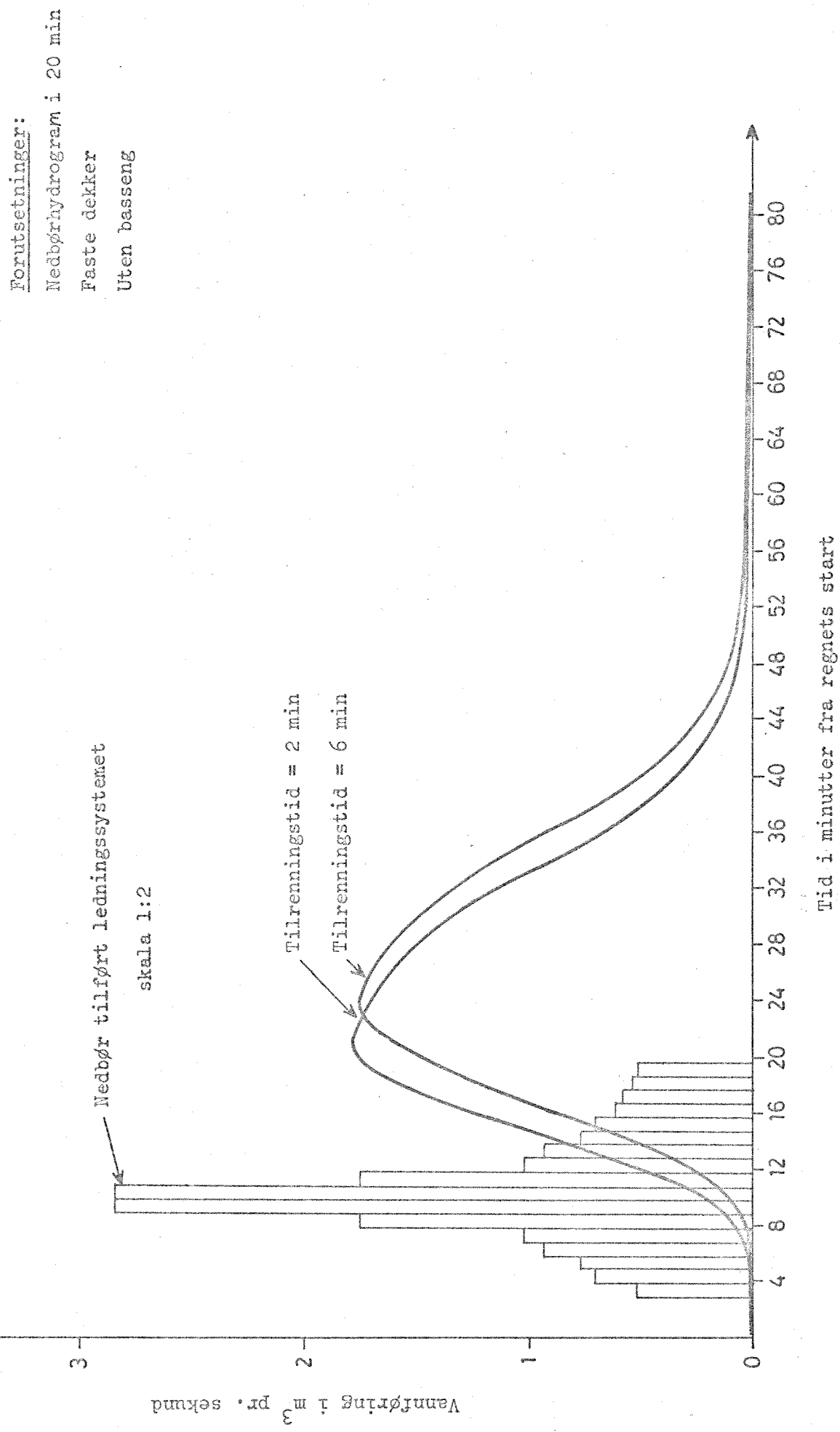
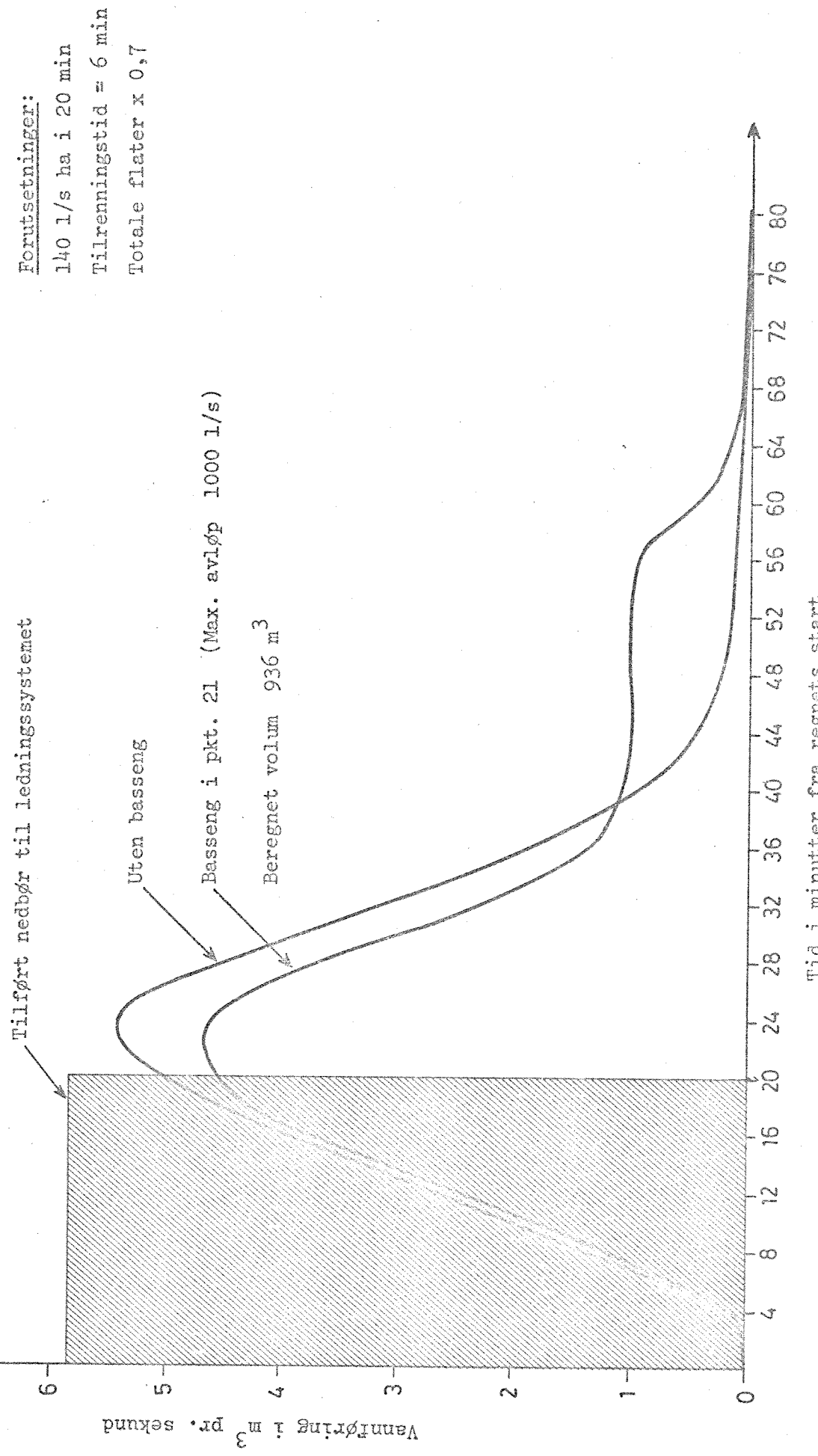


FIG. 20 EKSEMPEL PÅ EFFEKten AV FORDRØYNINGSBASSENG I FELTET

Vennføring ut av rør nr. 39



Vannføring ut av rør nr. 39

Tilført nedbør til
ledningssystemet

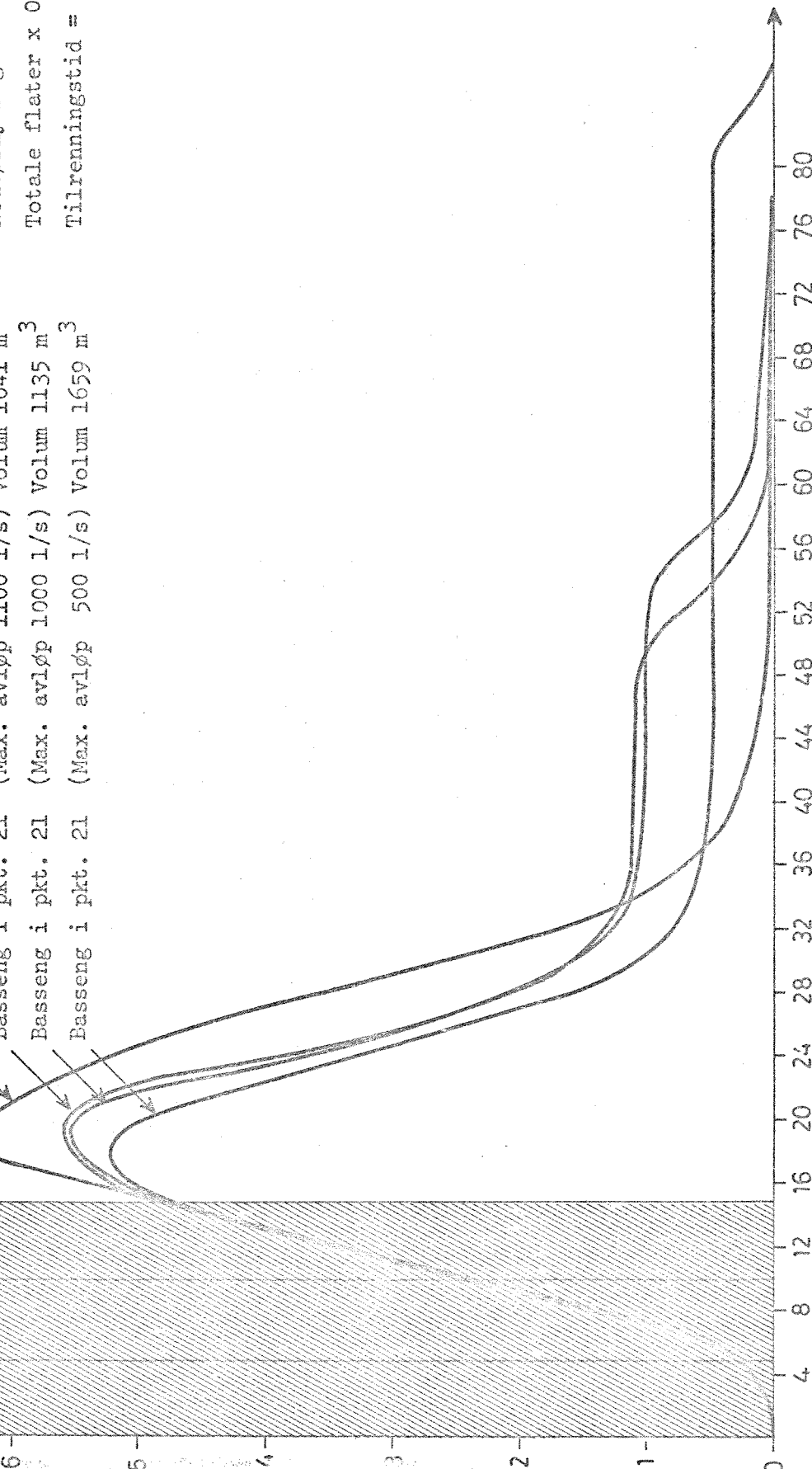
Uten basseng

Forutsetninger:

- Basseng i pkt. 21 (Max. avløp 1100 l/s) Volum 1041 m³
- Basseng i pkt. 21 (Max. avløp 1000 l/s) Volum 1135 m³
- Basseng i pkt. 21 (Max. avløp 500 l/s) Volum 1659 m³

Nedbørhydrogram i 15 min
Totalt flater x 0,7
Tilrenningstid = 6 min

Vannføring i m³ pr. sekund



Tid i minutter fra regnets start

Fig. 22

Eksempel på ulike beregningsforutsetninger

Vannføring ut av rør nr. 39

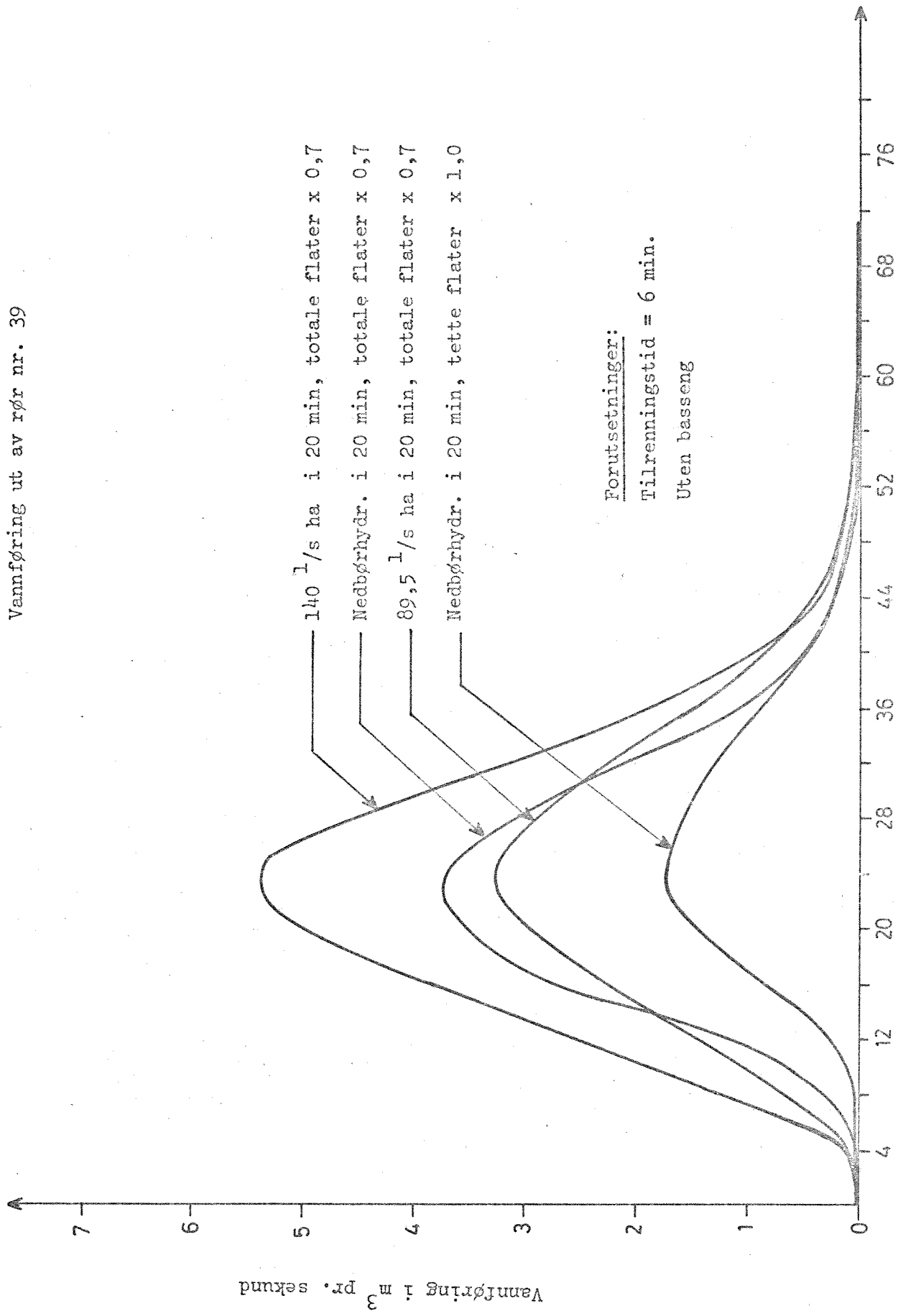


FIG. 23 EKSEMPEL PÅ DEMPNINGSEFFEKTEN AV MAKSIMAL VANNFØRING I EN KONTINUERLIG LEDNINGSSTRENG

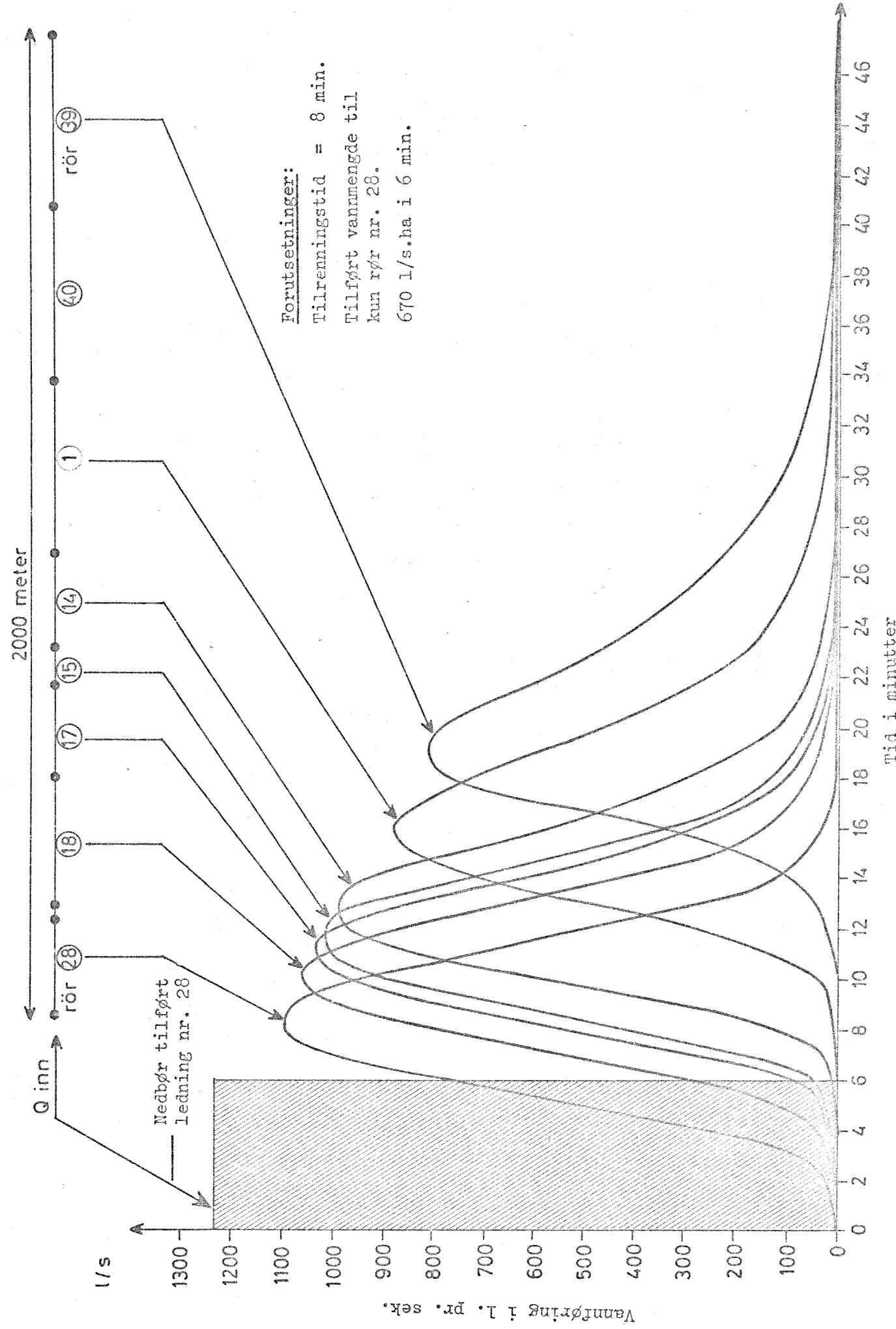
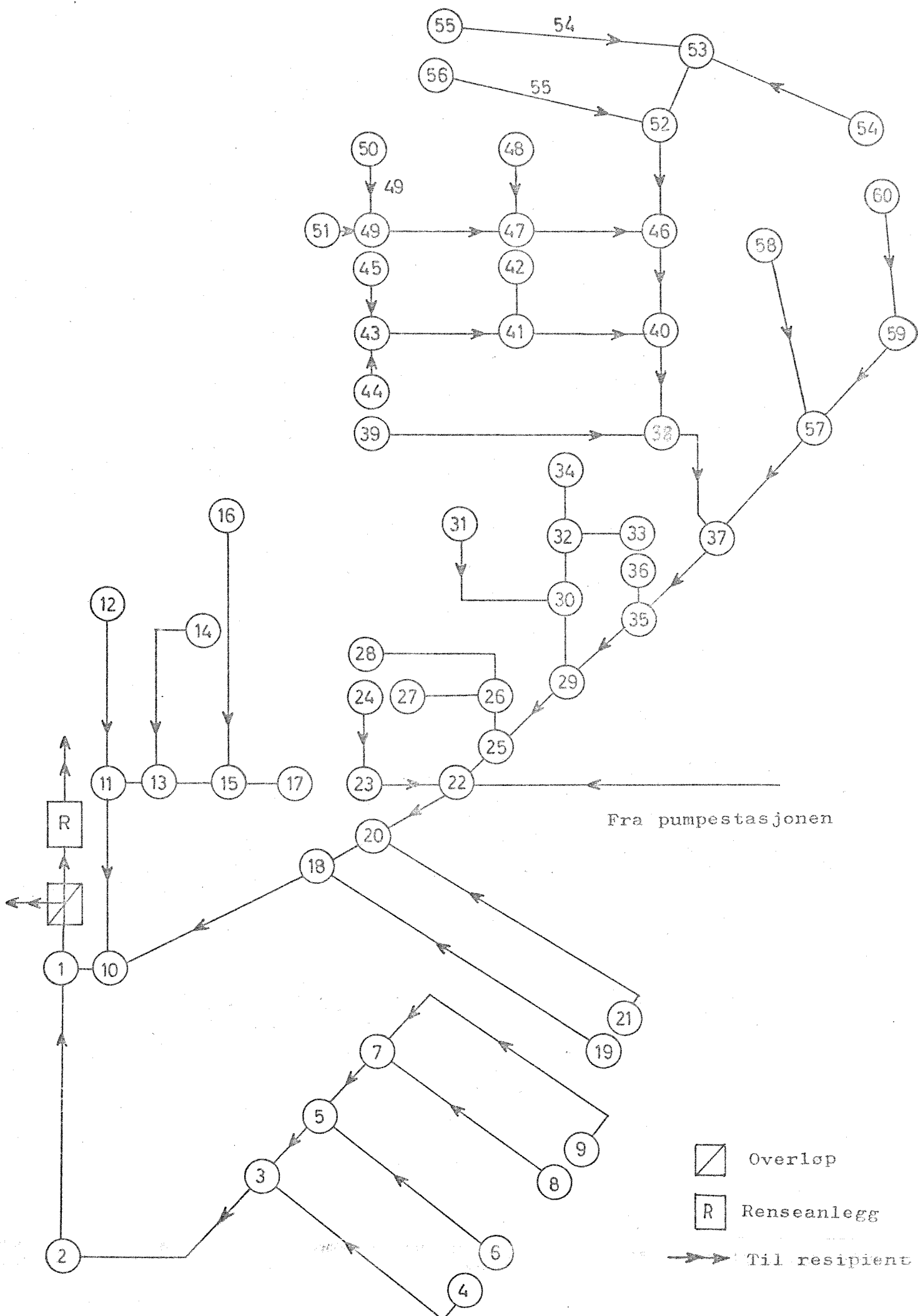
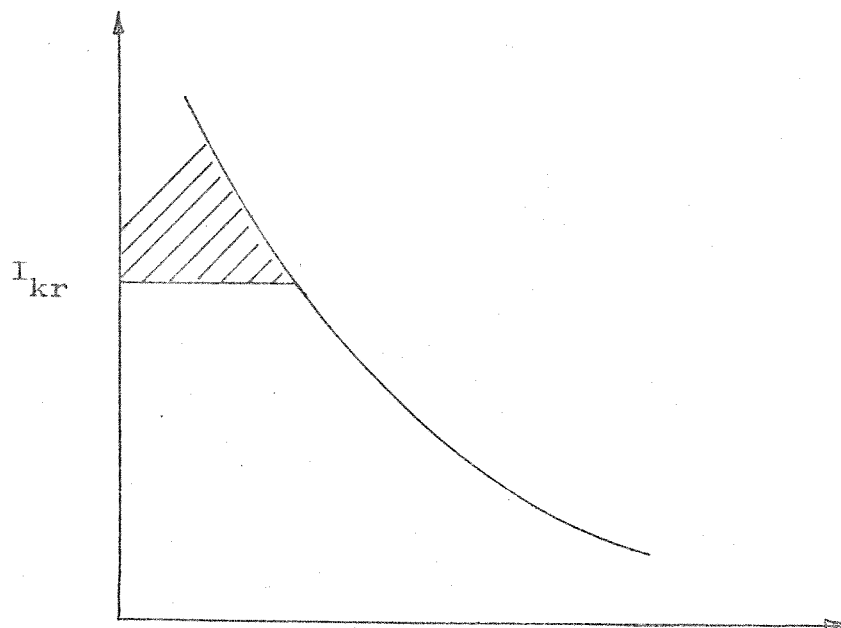


FIG. 24 TØRRKOPP LEDNINGSNETT



Regnintensitet
1. pr. sek. og ha.



Antall regntimer pr. år

FIG. 25 VARIGHETSKURVE

Vannføring i
1. pr. sek.

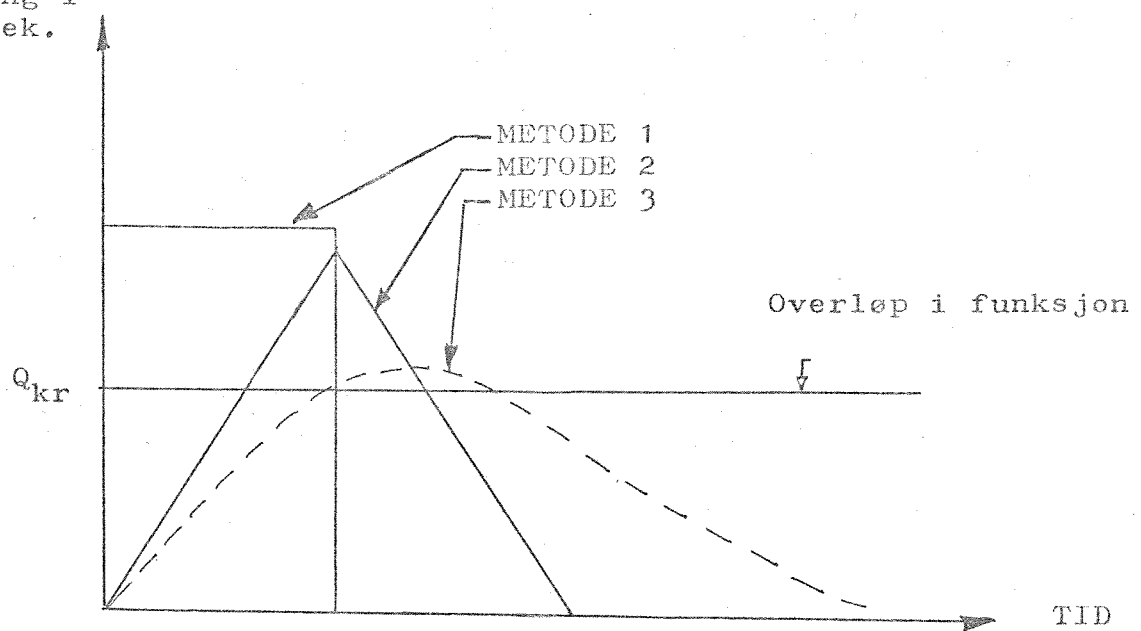
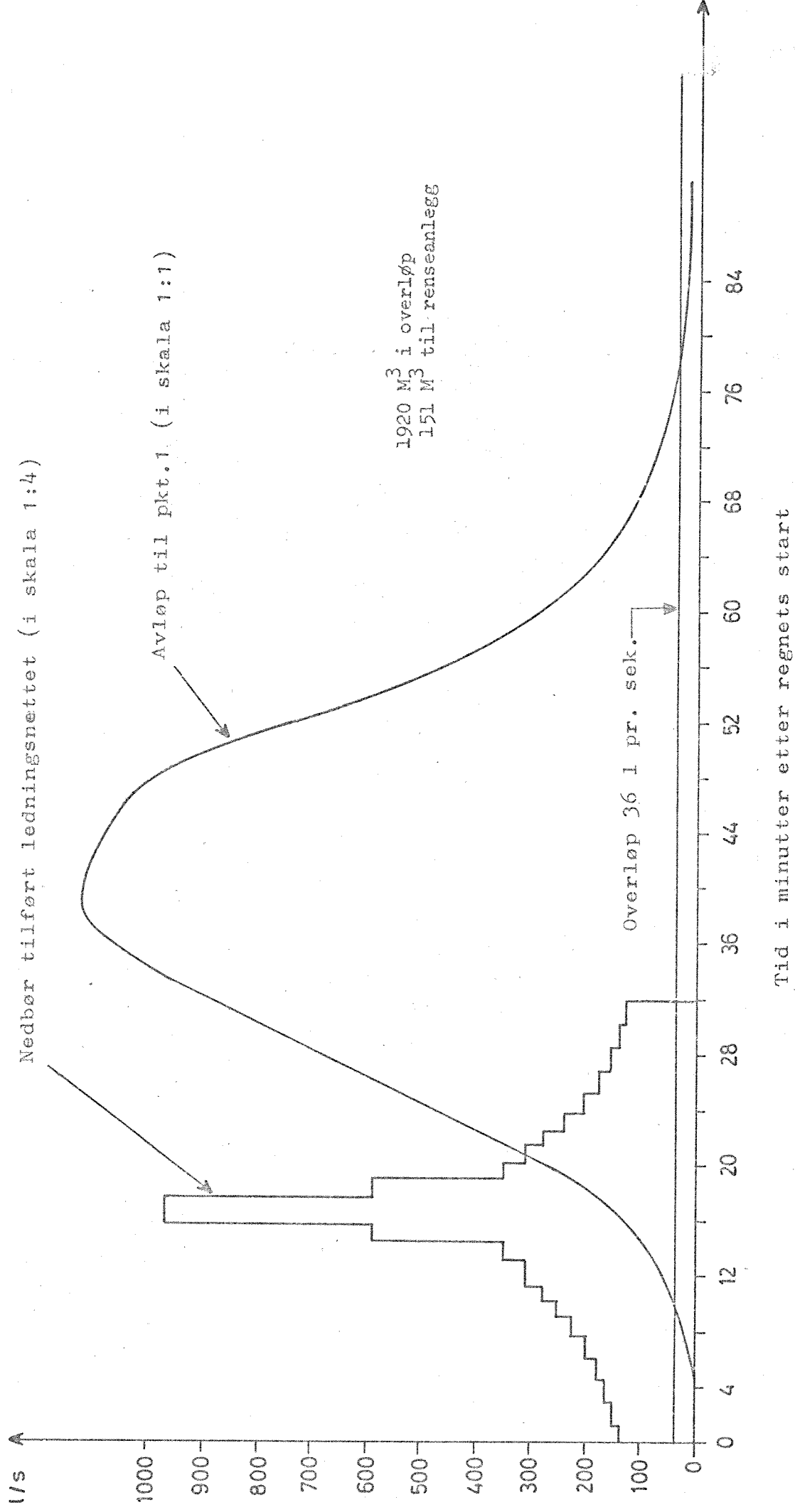


FIG 26 BEREGNING AV VANNFØRING I OVERLØP

Fig. 27 VANNFØRING TIL PKT. 1



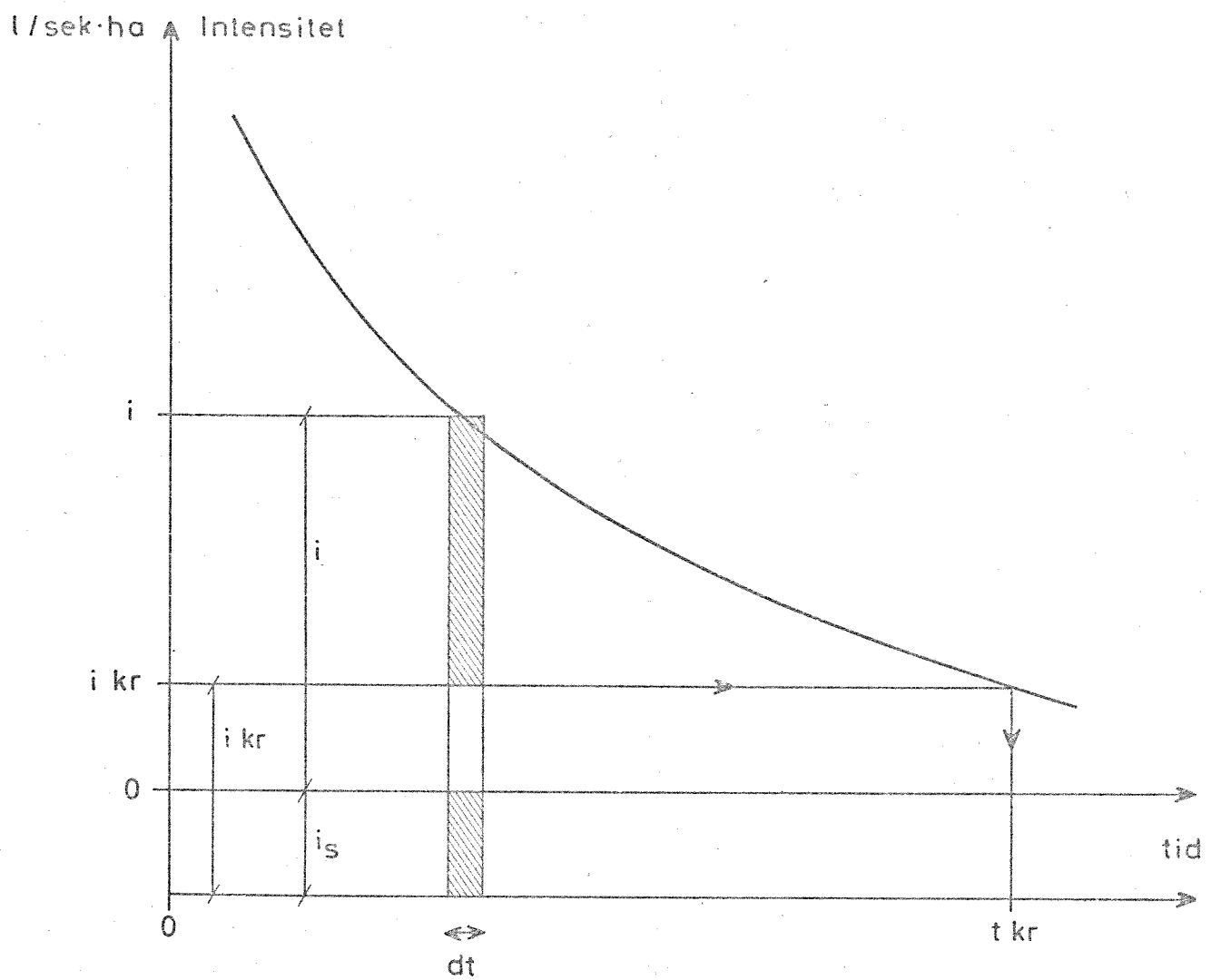
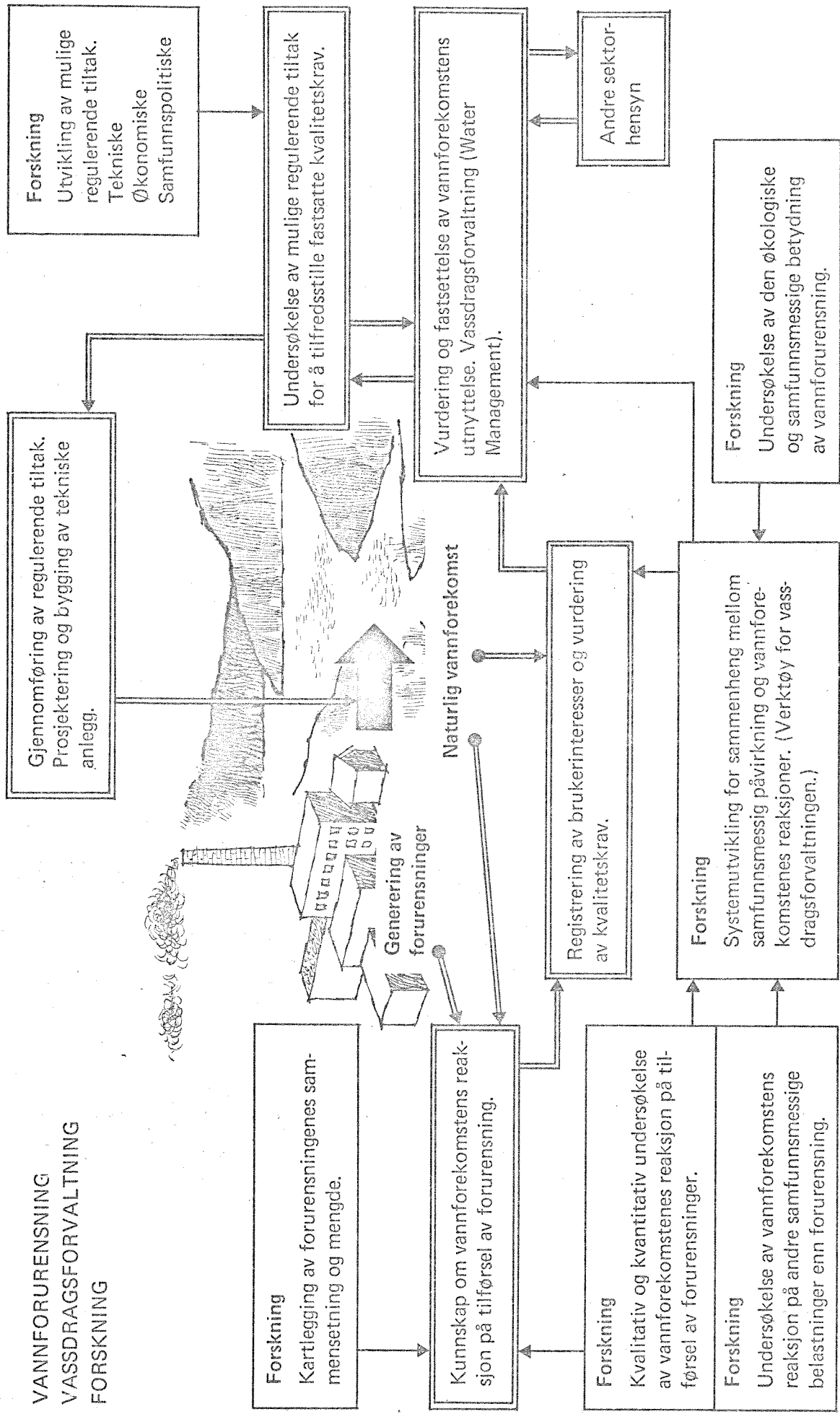


Fig. 28 Avlastningsberegninger

FIG. 29



KOMMUNE : OSLO.
OMRÅDE : UPPSAL
ALTERTATV : SITUASJON A.

TILLENING = 6 MIN
AVBLINNSKOFFISIEN = 0.7
MEDURSIYPROGRAF 0 = 20 MIN

AUTALL KJØTEPUNKTER : 40
AUTALL VÆR : 45
SIMULERTREGN :

		LITER PR SEK PR HA.
1.	MIN =	44.5
2.	MIN =	46.0
3.	MIN =	50.0
4.	MIN =	54.5
5.	MIN =	60.5
6.	MIN =	66.0
7.	MIN =	80.5
8.	MIN =	88.5
9.	MIN =	152.0
10.	MIN =	243.0
11.	MIN =	249.0
12.	MIN =	152.0
13.	MIN =	88.5
14.	MIN =	20.5
15.	MIN =	65.0
16.	MIN =	60.5
17.	MIN =	54.5
18.	MIN =	50.0
19.	MIN =	46.0
20.	MIN =	44.5

GASPOSITELL RØRDIAMETRE I METER : PRIS PR M:

VED DYNAMICK-DIMENSJONERING :	240.
	25.
	30.
	35.
	40.
	45.
	50.
	60.
	70.
	80.
	90.
	100.
	110.
	120.
	130.
	140.
	150.
	160.
	170.

Bilag 1



MAN COMPUTING CENTER

	VFULL	QFULL	QMIN	MIN	LMAX	FGR	AQ	IND	VOLUM	PROMILLE
7	9.53	4356.61	63	8	3756.08	722	.862	19	•90	39 216189.0 . 54.0
8	9.53	4504195.	SUITE			381490.				

DEMONSTRATION AV VÄRLDENS STÖRSTA HVER INTENSITET EFTER ROR : 39

• RÅRET (STOPPINGSHYDROGRAFEN) - DENNE BEREGNES AVLOPSHYDROGRAFEN FOR INNPRØVNINGSTIDEN = TØRRE INNPRØVNINGSTID



YOUTH CULTURE AND COMMUNICATION

WÄHLBEGELEITER FÜR HYFETI EINSPIELE MINUTT UT AV RQR NR 32

	TID.	LITER	TID.	LITER	TID.	LITER	TID.	LITER	TID.	LITER	TID.	LITER	TID.	LITER	TID.	LITER	TID.	LITER	TID.	LITER
	MIN.	PR.SEK.	MIN.	PR.SEK.	MIN.	PR.SEK.	MIN.	PR.SEK.	MIN.	PR.SEK.	MIN.	PR.SEK.	MIN.	PR.SEK.	MIN.	PR.SEK.	MIN.	PR.SEK.	MIN.	PR.SEK.
1	0.	10.	815.	19.	1258.	28.	106.	37.	10.	46.	1.	55.	0.	64.	0.	73.	0.	74.	0.	
2	2.	12.	31.	1905.	20.	1128.	29.	76.	38.	7.	47.	0.	56.	0.	65.	0.	74.	0.		
3	3.	16.	12.	1155.	21.	920.	30.	61.	39.	5.	48.	0.	57.	0.	66.	0.	75.	0.		
4	4.	20.	13.	1313.	22.	801.	31.	49.	40.	4.	49.	0.	52.	0.	67.	0.	76.	0.		
5	5.	23.	14.	1421.	23.	636.	32.	33.	31.	3.	50.	0.	59.	0.	68.	0.	77.	0.		
6	6.	25.	15.	1461.	24.	452.	33.	30.	42.	2.	51.	0.	60.	0.	69.	0.	78.	0.		
7	7.	28.	16.	1467.	25.	324.	34.	23.	43.	2.	52.	0.	61.	0.	70.	0.	79.	0.		
8	8.	37.	17.	1440.	26.	229.	35.	17.	44.	1.	53.	0.	62.	0.	71.	0.	80.	0.		
9	9.	47.	18.	1372.	27.	165.	36.	13.	45.	1.	54.	0.	63.	0.	72.	0.	81.	0.		

卷之三

	TID	LITER										
	MIN.	PR. SEK.										
1	0.	10	74.	19	34.	28	0.	37	0.	55	0.	73
2	1.	11	81.	20	22.	29	0.	38	0.	56	0.	74
3	0.	12	85.	21	12.	30	0.	39	0.	48	0.	75
4	1.	13	83.	22	5.	31	0.	40	0.	49	0.	76
5	1.	14	77.	23	2.	32	0.	41	0.	50	0.	77
6	45.	15	66.	24	1.	33	0.	42	0.	51	0.	78
7	51.	16	60.	25	0.	34	0.	43	0.	52	0.	79
8	56.	17	53.	26	0.	35	0.	44	0.	53	0.	80
9	66.	18	46.	27	0.	36	0.	45	0.	63	0.	81

冰水冰51110

VANNEN NÅDE FOR HVERT LØPENDE MINUTT UT AV RØR NR. 30

	TID. LITER MIN.	TIO. LITER MIN.	LITER PR. SEK.	TID. LITER MIN.	LITER PR. SEK.						
1	6.	10.	217.	19.	135.	28	1.	37	0.	46	0.
2	2.	11.	241.	20.	103.	29	0.	38	0.	47	0.
3	3.	9.	253.	21.	64.	30	0.	39	0.	48	0.
4	4.	12.	259.	22.	36.	31	0.	40	0.	49	0.
5	5.	14.	257.	23.	19.	32	0.	41	0.	50	0.
6	6.	15.	246.	24.	9.	33	0.	42	0.	51	0.
7	7.	16.	217.	25.	6.	34	0.	43	0.	52	0.
8	8.	17.	189.	26.	3.	35	0.	44	0.	53	0.
9	9.	180.	180.	27.	2.	36	0.	45	0.	54	0.

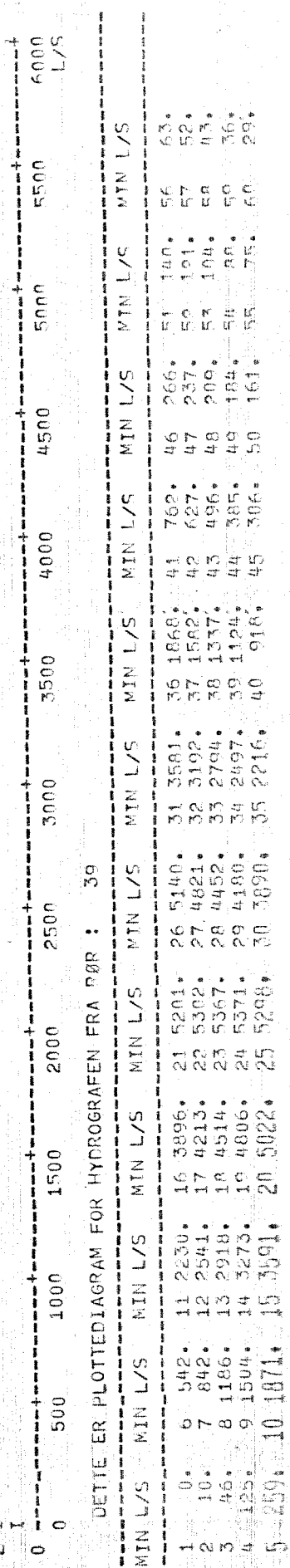
四百

INNLESTE RØRDATA.

BEREGNEDE RØRDATA.

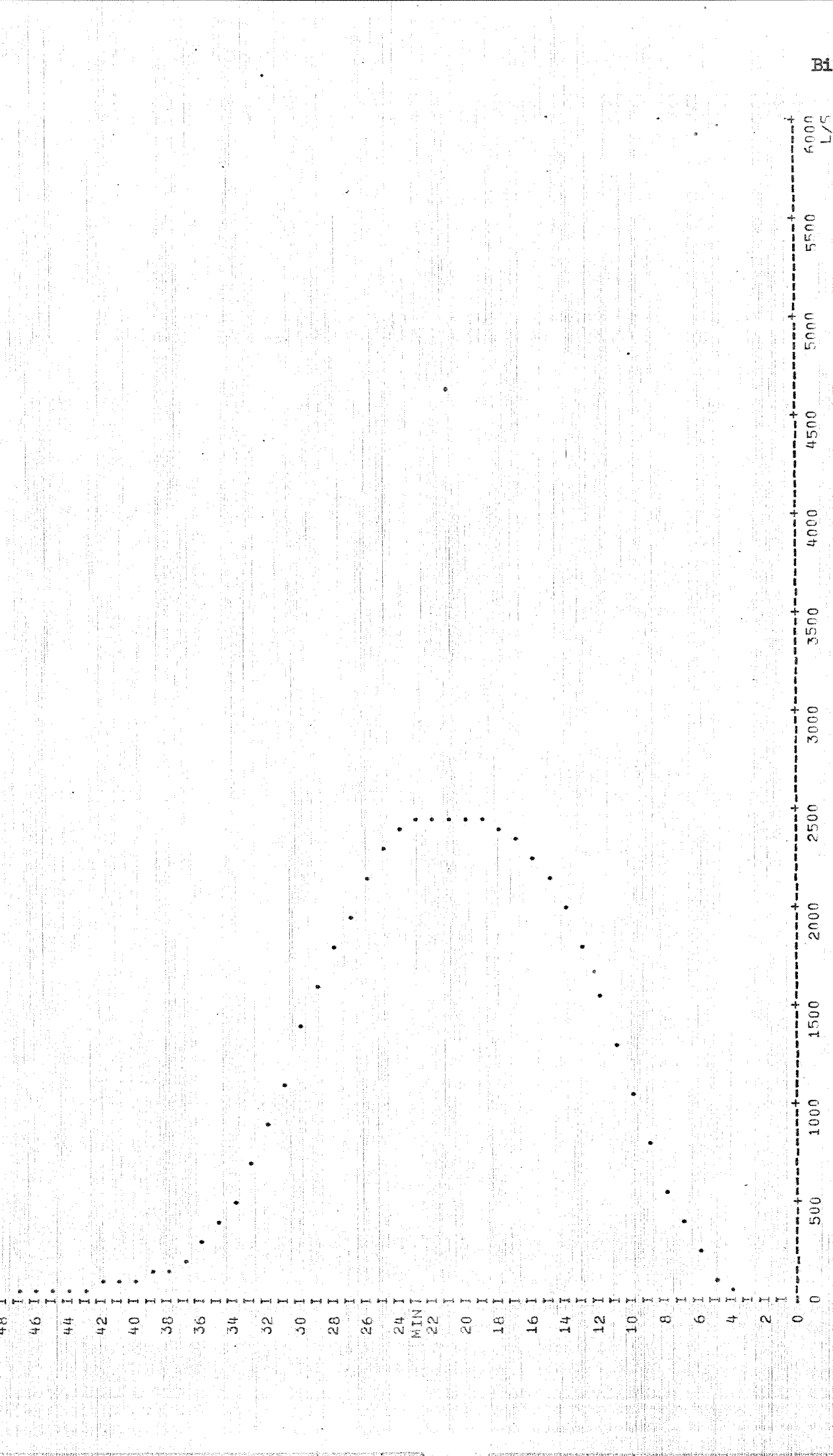
RØRNR.	ØDV.	LENGDE.	EKS.	RØR-	MEDSL.	AVLÅP.	TETTE	PRO-	BEREG.	QMAX.	MAX.	RØRKA-	NØDV.GR.
	(MM)	(MM)	DIAM.	MOT-	FELT.	KOEFF.	FLATER	%	QFULL.	DIAM.	HAST.	VANNF.	V.OPPS.
			(MM)	STAND.	(MM)					(MM/S)	(L/S)	(PROM.)	(KRT.)
1	12	345.0	1.100	0.	3.466	.70	.000	0.	11.9	1.10	.899	.759	3.94
2	13	147.0	0.	.381	0.	.568	.70	.000	.50	.61.5	.942	.843	5.08
3	14	96.0	0.	.229	0.	.698	.70	.000	.30	.59.1	.945	.851	2.10
4	15	79.0	0.	.229	0.	.498	.70	.000	.20	.718	.631	.2.79	140.3
5	16	135.0	0.	.381	0.	1.504	.70	.000	.45	.994	.983	4.95	62.9
6	17	122.0	0.	.229	0.	.680	.70	.000	.18.9	.917	.794	1.74	87.6
7	18	80.0	0.	.305	0.	.140	.70	.000	.40	.123.9	.736	.642	6.44
8	19	40.0	0.	.229	0.	.338	.70	.000	.20	.58.6	.497	.486	2.78
10	20	432.0	0.	.305	0.	1.924	.70	.000	.50	.899	.759	3.16	557.7
11	21	105.0	0.	.229	0.	1.120	.70	.000	.30	.794	.677	2.49	139.7
12	22	12.0	0.	.305	0.	.035	.70	.000	.0	.22.7	.784	.670	2.57
13	23	155.0	0.	.229	0.	1.352	.70	.000	.0	.16.6	.35	.698	2.00
14	24	165.0	0.	.229	0.	.868	.70	.000	.0	.11.3	.30	.900	.760
15	25	145.0	0.	.200	0.	1.444	.70	.000	.0	.24.8	.90	.759	.655
16	26	180.0	0.	.200	0.	.320	.70	.000	.0	.30.4	.80	.908	.776
17	27	70.0	0.	.031	0.	.670	.70	.000	.0	.28.1	.25	.801	.681
18	28	17.0	0.	.381	0.	.670	.70	.000	.0	.60.6	.70	.879	.739
19	29	187.0	0.	.229	0.	1.404	.70	.000	.0	.36.6	.80	.773	.664
20	30	19.0	0.	.700	0.	2.482	.70	.000	.0	.12.3	.20	.933	.826
21	31	262.0	0.	.700	0.	1.306	.70	.000	.0	.57.7	.70	.832	.609
22	32	81.0	0.	.381	0.	.306	.70	.000	.0	.13.5	.60	.832	.609
23	33	20.0	0.	.700	0.	.034	.70	.000	.0	.19.0	.90	.732	.51
24	34	21.0	0.	.700	0.	.670	.70	.000	.0	.19.0	.60	.922	.2.02
25	35	17.0	0.	.381	0.	.616	.70	.000	.0	.9.0	.60	.972	.2.02
26	36	187.0	0.	.309	0.	1.410	.70	.000	.0	.21.2	.50	.800	.680
27	37	262.0	0.	.309	0.	2.408	.70	.000	.0	.41.2	.39	.860	.720
28	38	165.0	0.	.534	0.	2.404	.70	.000	.0	.13.3	.40	.956	.973
29	39	165.0	0.	.50.0	0.	.292	.70	.000	.0	.8.8	.25	.831	.698
30	40	21.0	0.	.381	0.	.292	.70	.000	.0	.32.5	.20	.284	.350
31	41	22.0	0.	.600	0.	.616	.70	.000	.0	.15.6	.30	.710	.626
32	42	23.0	0.	.309	0.	1.404	.70	.000	.0	.17.7	.80	.775	.665
33	43	23.0	0.	.309	0.	2.408	.70	.000	.0	.41.2	.39	.860	.720
34	44	24.0	0.	.700	0.	.034	.70	.000	.0	.13.3	.40	.772	.663
35	45	22.0	0.	.600	0.	.616	.70	.000	.0	.19.0	.35	.976	.934
36	46	23.0	0.	.309	0.	1.404	.70	.000	.0	.16.9	.35	.976	.934
37	47	27.0	0.	.229	0.	.616	.70	.000	.0	.35.9	.20	.940	.840
38	48	160.0	0.	.305	0.	.776	.70	.000	.0	.15.4	.90	.802	.681
39	49	29.0	0.	.404	0.	2.618	.70	.000	.0	.17.7	.80	.775	.665
40	50	29.0	0.	.700	0.	1.444	.70	.000	.0	.26.8	.40	.772	.663
41	51	32.0	0.	.404	0.	2.372	.70	.000	.0	.11.2	.35	.829	.697
42	52	33.0	0.	.305	0.	.490	.70	.000	.0	.7.4	.70	.867	.727
43	53	34.0	0.	.83.0	0.	.381	.70	.000	.0	.9.2	.40	.950	.861
44	54	35.0	0.	.58.0	0.	.229	.70	.000	.0	.54.0	.90	.862	.722
45	55	35.0	0.	.229	0.	.147.0	.70	.000	.0	.29.8	.40	.730	.638
46	56	36.0	0.	.305	0.	.113.0	.70	.000	.0	.35.9	.20	.940	.840
47	57	37.0	0.	.72.0	0.	.518	.70	.000	.0	.15.4	.30	.802	.681
48	58	37.0	0.	.430.0	0.	.204.0	.70	.000	.0	.17.8	.35	.729	.637
49	59	38.0	0.	.90.0	0.	.1.058	.70	.000	.0	.11.2	.35	.829	.697
50	60	39.0	0.	.305	0.	.230.0	.70	.000	.0	.7.4	.70	.867	.727
51	61	39.0	0.	.534	0.	.1.116	.70	.000	.0	.9.2	.40	.950	.861
52	62	39.0	0.	.534	0.	.1.116	.70	.000	.0	.54.0	.90	.862	.722
53	63	39.0	0.	.305	0.	.1.140	.70	.000	.0	.21.2	.30	.930	.830
54	64	39.0	0.	.305	0.	.1.210	.70	.000	.0	.53.9	.90	.830	.698
55	65	39.0	0.	.305	0.	.1.210	.70	.000	.0	.58.9	.45	.993	.905
56	57	39.0	0.	.305	0.	.1.300	.70	.000	.0	.47.5	.30	.763	.658
57	58	39.0	0.	.305	0.	.1.414	.70	.000	.0	.66.0	.40	.811	.687
58	59	39.0	0.	.305	0.	.1.824	.70	.000	.0	.66.5	.30	.861	.721
59	60	39.0	0.	.305	0.	.5100	.70	.000	.0	.12.1	.35	.889	.749
60	61	40.0	0.	.340.0	0.	.1.100	.70	.000	.0	.54.0	.90	.862	.722
61	62	41.0	0.	.350.0	0.	.1.100	.70	.000	.0	.53.9	.90	.830	.698
62	63	41.0	0.	.350.0	0.	.7000	.70	.000	.0	.58.9	.45	.993	.905
63	64	41.0	0.	.305	0.	.1.452	.70	.000	.0	.47.5	.30	.763	.658
64	65	42.0	0.	.47.0	0.	.534	.70	.000	.0	.66.0	.40	.811	.687
65	66	42.0	0.	.47.0	0.	.214.0	.70	.000	.0	.66.5	.30	.861	.721
66	67	42.0	0.	.850	0.	.381	.70	.000	.0	.12.1	.35	.889	.749
67	68	43.0	0.	.47.0	0.	.1.25.0	.70	.000	.0	.12.1	.35	.889	.749
68	69	44.0	0.	.47.0	0.	.1.25.0	.70	.000	.0	.12.1	.35	.889	.749
69	70	44.0	0.	.47.0	0.	.169.0	.70	.000	.0	.12.1	.35	.889	.749
70	71	45.0	0.	.47.0	0.	.169.0	.70	.000	.0	.12.1	.35	.889	.749

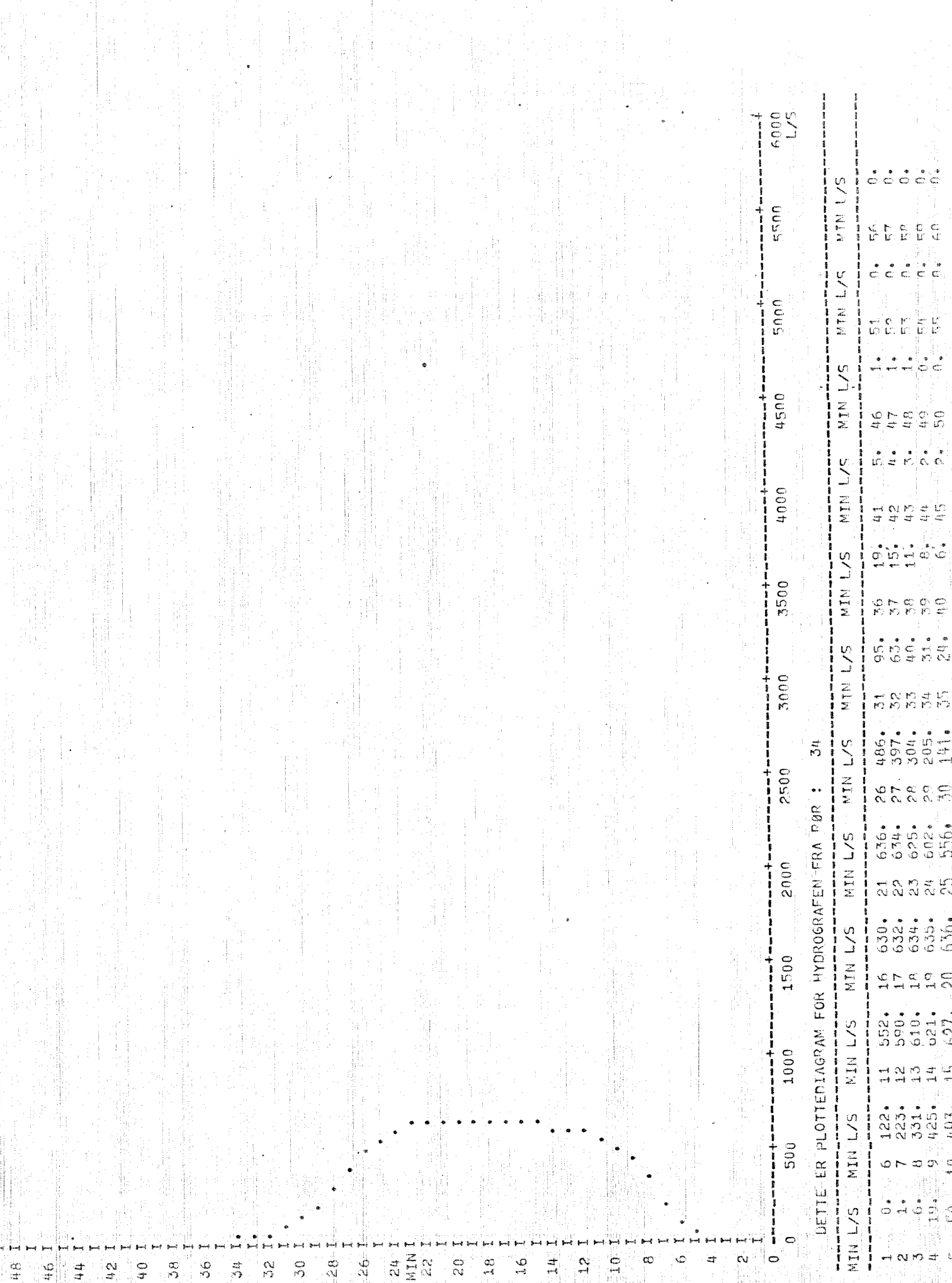
DETTE ER PLOTTEDIAGRAM FOR HYDROGRAFEN FRA RØR :



Bilag 6

DETTE ER PLOTTEDIAGRAM FOR HYDROGRAFEN FRA RØR : 17





DETTE ER PLOTTEDIAGRAM FOR HYDROGRAFEN-FRA DØR :

KOBOLINE : NOTTERBY.

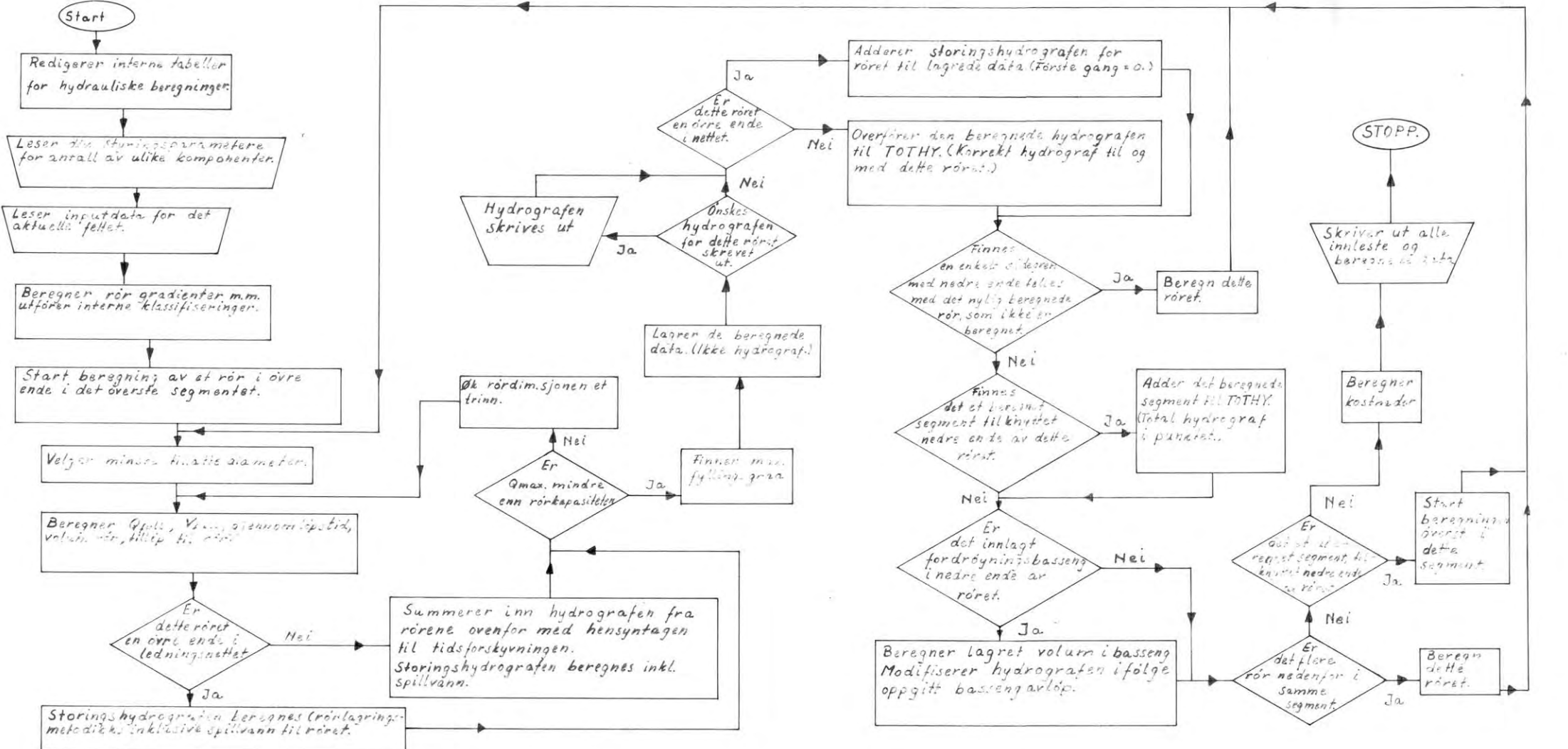
FORURENSNINGER I PKT. : 1

KG BOF I SPILLVANN TILFØRT PUNKTET	3.875
KG BOF I REGNVANN TILFØRT PUNKTET	6.580
KG BOF I OVERLAPP	11.147
KUNIKKEVER I OVERLAPP	340.154
OVERLAPP I PUNKSJØA FRA	14. MIN. - 86. MIN.
MAXIMALT AVLEP FRA PUNKTET UTEN OVERLAPP	36.
TOTALT AVHOLD LITER SPILLVANN/SEK	16.

GRÅBOF/PKT. SEK SON PÅSSÆRER PKT.

1 FOR HVERT MIN.

GRÅBOF/PKT. SEK	TID	GRÅBOF										
MIN.	PR. SEK.	MIN.	PR. SEK.	MIN.	PR. SEK.	MIN.	PR. SEK.	MIN.	PR. SEK.	MIN.	PR. SEK.	MIN.
1	1.6	2.659	35	4.394	52	5.232	69	7.662	86	2.445	103	2.116
2	1.9	2.743	56	4.551	53	5.174	70	7.754	87	2.420	104	2.092
3	2.4	2.767	57	4.572	54	5.116	71	5.646	88	2.398	105	2.075
4	2.4	2.832	46	4.655	55	5.062	72	3.355	89	2.375	106	2.061
5	2.2	2.946	39	4.934	56	5.012	73	3.421	90	2.352	107	2.047
6	2.3	3.063	45	5.103	57	4.952	74	3.309	91	2.326	108	2.033
7	2.3	3.069	45	5.103	57	4.952	74	3.309	92	2.306	109	2.023
8	2.4	3.097	41	5.204	56	4.988	75	3.406	93	2.287	110	2.017
9	2.4	3.174	42	5.259	59	4.819	76	3.953	93	2.267	111	2.004
10	2.0	3.260	43	5.351	60	4.737	77	2.991	94	2.241	112	1.991
11	2.0	3.401	44	5.393	61	4.653	78	2.949	95	2.216	113	1.978
12	2.0	3.553	44	5.393	61	4.653	79	2.949	96	2.191	113	1.965
13	2.0	3.643	45	5.420	62	4.560	79	2.916	96	2.166	114	1.952
14	2.0	3.643	45	5.420	62	4.560	79	2.916	97	2.203	114	1.940
15	2.0	3.710	46	5.473	63	4.463	80	2.745	98	2.166	115	1.928
16	2.0	3.715	34	3.707	47	5.455	64	4.363	81	2.662	99	2.030
17	2.0	3.715	31	3.642	48	5.414	65	4.268	82	2.525	100	2.026
18	2.0	4.229	32	5.464	49	5.362	66	4.184	83	2.569	101	2.024
19	2.0	4.617	30	5.339	67	4.080	84	2.520	102	2.477	119	2.021
20	2.0	5.298	33	4.121	50	3.974	85	2.438	102	2.128	119	2.000
21	2.0	5.367	34	4.258	51	3.263	68	2.477	102	2.128	119	2.000
22	2.0	5.367	34	4.258	51	3.263	68	2.477	102	2.128	119	2.000



ment: Hengsill - på en intern oppdeling lednin, nært. Hvert segment består av et "stet tre", hvor sidzene renne til hovedstammen og har mer enn en ledningsstrekning.
næs: Hver rørn finnes i et rør.
vogn: Vannføring - en funksjon av røren.